

3/2026

Zpravodaj

Českého hydrometeorologického ústavu



Pobočka Ostrava

Obsah

Synoptická situace, charakter proudění a počasí	2
Teploty vzduchu	6
Srážky	10
Hydrologická situace	14
Povodí Odry	14
Povodí horní Moravy	18
Povodí Bečvy	20
Vyhodnocení stavu podzemních vod v březnu 2026	23
Mělké vrty	23
Prameny	25
Hluboké vrty	28
Kvalita ovzduší.....	29
Výzkum ČHMÚ Ostrava pro Magistrát města Opavy.....	35

Zpracovali: Ing. Daniel Hladký
 Mgr. Alena Kamínková
 Ing. Veronika Šustková
 Ing. Petra Šutarová, Ph.D.
 Mgr. Jiřina Švábenická

Zpravodaj, vydává Český hydrometeorologický ústav, pobočka Ostrava, K Myslivně 3/2182, 708 00 Ostrava. Informace a údaje uvedené v tomto materiálu neprošly předepsanou kontrolou a autorizací, jedná se o operativní data. Zpravodaj má informativní charakter, nelze použít jako úřední dokument. Neprošlo jazykovou úpravou. Neprodejný výtisk.

Synoptická situace, charakter proudění a počasí

V březnu 2026 měla cirkulace mezi Amerikou a Evropou převážně meridionální charakter. Zonální proudění se vyskytovalo jen přechodně, a to většinou jen v úzkém pásu mezi 40° s.š. až 60° s.š.

První březnový den sice přinesla na naše území srážky studená fronta postupující k východu, ale v dalších dnech první dekády se již srážky v České republice nevyskytly a po celé období počasí ovlivňovala rozsáhlá oblast vysokého tlaku vzduchu zasahující ze severozápadní do jihovýchodní, koncem období až východní Evropy. Tato rozsáhlá anticyklona zcela zablokovala postup všech atlantických frontálních systémů (tzv. omega blokace). Její vliv jen krátkodobě (2. 3.) narušila mělká tlaková níže ve vyšších vrstvách atmosféry, která se přechodně vytvořila nad Rakouskem.

Počasí druhé březnové dekády bylo velmi proměnlivé. Na jejím začátku se nad Čechami rozpadala okluzní fronta, za kterou následně přešla přes naše území fronta studená. Za touto frontou se výrazně snížilo množství saharského prachu nad ČR a zlepšila se i dohlednost. Poté ovlivnil počasí v České republice slábnoucí výběžek vyššího tlaku vzduchu od jihozápadu, který s sebou přinesl teplý a sušší vzduch. Toto počasí s charakterem pozdního jara ale nevydrželo dlouho. Již uprostřed měsíce (15. a 16. 3.) postoupila do střední Evropy studená fronta, za kterou k nám začal proudit chladnější a vlhčí vzduch od severozápadu a v polohách nad 700m, přechodně i níže se objevil i sníh. Ve druhé polovině této dekády ovlivnila počasí u nás tlaková výše nad Polskem a Pobaltím a přeháněk nad naším územím ubylo. Moravu a Slezsko ale zároveň ovlivnila výšková tlaková níže postupující přes naše území dále k jihu. V závěru druhé dekády měla na počasí u nás vliv oblast vyššího tlaku vzduchu se středem u Britských ostrovů.

Na přelomu druhé a třetí dekády přešla přes naše území slabá studená fronta, za kterou se k nám rozšířil okraj tlakové výše nad severovýchodní Evropou. V dalších dnech třetí dekády začal ovlivňovat počasí u nás nevýrazný výběžek vyššího tlaku vzduchu od jihozápadu a na naše území krátce proudil teplejší vzduch. Jeho příliv ale uprostřed této dekády ukončila výrazná studená fronta od severozápadu, za kterou pronikl na naše území opět chladnější vzduch a pocit chladu umocňoval i čerstvý vítr. Zároveň počasí v ČR začalo ovlivňovat zvlněné frontální rozhraní východně od našeho území, které způsobilo rozdíly v počasí mezi západní a východní částí republiky. Do západní poloviny území zasahoval výběžek vyššího tlaku vzduchu od západu, zatímco východ území ovlivňovalo již zmíněné frontální rozhraní nad východní a jihovýchodní Evropou. Proudění studeného vzduchu na naše území pokračovalo i na konci měsíce. Příliv studeného vzduchu od severozápadu zesílil zejména po přechodu okluzní fronty (30. 3.), za kterou se v polohách nad 500 m, při intenzivnějších srážkách přechodně i níže, vyskytovaly opět i srážky sněhové.

¹ proudění meridionální je proudění ve směru podél poledníků, tj. od severu k jihu nebo naopak
proudění zonální je proudění vzduchu podél rovnoběžek ve směru západ-východ
proudění vzduchu podél rovnoběžek ve směru východ-západ se většinou označuje jako východní (negativní)
zonální proudění
<http://slovník.cmes.cz>

Moravskoslezský kraj

Podle předběžných výsledků byla průměrná měsíční teplota vzduchu v Moravskoslezském kraji 5,6 °C, což je o 2,9 °C vyšší hodnota než teplotní normál 1991–2020, měsíc březen byl v kraji hodnocen jako teplotně silně nadnormální. V Ostravě, Porubě byla průměrná měsíční teplota vzduchu 7,1 °C, což je tepleji oproti normálu o 3,0 °C. Na Lysé hoře byla v březnu průměrná teplota vzduchu 1,4 °C (o 3,7 °C tepleji než normál). Nejvyšší průměrnou měsíční teplotu vzduchu v březnu zaznamenala stanice Slezská Ostrava (7,7 °C), druhá nejvyšší hodnota, 7,5 °C, byla na stanici Bohumín, a třetí nejvyšší průměrná teplota vzduchu byla naměřena na stanici Chuchelná (7,4 °C). Průměrně nejchladněji bylo v březnu na stanici Praděd (−0,7 °C). Druhá nejnižší průměrná teplota vzduchu byla v kraji změřena na stanici Jelení studánka (1,2 °C) a třetí na Lysé hoře (1,4 °C). V březnu byl nejteplejší 14. den měsíce, s průměrnou teplotou vzduchu v kraji 10,5 °C. Nejvyšší denní průměrná teplota vzduchu na stanici (13,9 °C) byla naměřena v tento den na stanici Mošnov. Nejchladnějším dnem byl 27. březen, s průměrnou teplotou vzduchu v kraji 1,2 °C. Nejnižší denní průměrná teplota vzduchu na stanici byla zaznamenána v tento den na stanici Praděd (−5,9 °C). Nejvyšší maximální teplota vzduchu, 19,1 °C, byla zaznamenána dne 11. března na stanici Karviná. Nejnižší hodnota maximální teploty vzduchu (−5,0 °C) byla naměřena dne 27. března na Pradědu. Nejnižší minimální teplota vzduchu, −7,2 °C, byla změřena 28. března na Pradědu. Nejvyšší hodnota minimální teploty vzduchu, 11,2 °C, byla změřena dne 14. března na stanici Ostrava, Zábřeh. Nejnižší minimální přizemní teplota vzduchu, −11,0 °C, byla změřena 20. března na stanici Rýmařov.

V MS kraji spadlo průměrně 46 mm srážek, což je 90 % normálu 1991–2020, měsíc březen byl srážkově normální. V Ostravě, Porubě jsme v březnu naměřili 49,4 mm srážek (122 % normálu). Na Lysé hoře jsme naměřili 116,1 mm, což odpovídá 122 % normálu a byl to nejvyšší měsíční úhrn srážek v kraji. Druhý nejvyšší úhrn zaznamenaly stanice Ostravice a Raškovice, Husinec (80,1 mm) a třetí nejvyšší stanice Frenštát pod Radhoštěm (72,3 mm). Nejméně srážek spadlo na stanicích Rýmařov (23,0 mm), Světlá Hora (23,9 mm) a Slezská Harta (26,1 mm). Nejvyšší denní úhrn srážek, 38,1 mm, zaznamenala stanice Lysá hora dne 26. března.

Nejvíce nového sněhu v měsíci (90 cm) zaznamenala stanice Lysá hora, dále 50 cm nového sněhu napadlo na Pradědu a 29 cm na stanici Morávka, Lúčka. Nejvyšší hodnota celkové sněhové pokrývky v kraji (72 cm) byla naměřena 1. března na Pradědu.

V kraji svítilo slunce průměrně 177 hodin. Nejvíce svítilo slunce na stanicích Ostrava, Poruba (186,9 hod.), Opava (185,5 hod.) a Červená (184,9 hod.), nejméně na stanicích Praděd (145,8 hod.), Bohumín (149,6 hod.) a Jablunkov (159,4 hod.). Nejvyšší denní úhrn slunečního svitu, 11,3 hod., jsme zaznamenali na stanici Lysá hora dne 18. března.

Z hlediska průměrných rychlostí větru na všech stanicích v kraji byl největrnější den 14. březen. Nejvyšší maximální rychlosti větru zaznamenaly stanice Praděd (32,4 m.s⁻¹ dne 14. března, 28,9 m.s⁻¹ dne 10. března) a Lysá hora (25,3 m.s⁻¹ 14. března). V Ostravě, Porubě dosáhl vítr maximální rychlosti 14,8 m.s⁻¹ dne 14. března.

Olomoucký kraj

Olomoucký kraj s průměrnou měsíční teplotou vzduchu 5,7 °C byl o 2,8 °C teplejší než krajový normál 1991–2020. Měsíc březen byl v kraji klasifikován jako teplotně silně nadnormální měsíc. Olomouc měla průměrnou měsíční teplotu vzduchu 7,5 °C (o 3,2 °C tepleji než normál). V Šumperku jsme zaznamenali průměrnou měsíční teplotu vzduchu 5,1 °C (o 2,1 °C tepleji než normál) a na Šeráku byla v březnu průměrná teplota vzduchu 0,4 °C (o 3,0 °C tepleji než normál). Nejvyšší průměrná měsíční teplota vzduchu v kraji byla naměřena na stanicích Paseka a Šternberk (7,7 °C), druhá nejvyšší na stanici Olomouc (7,5 °C) a třetí nejvyšší na stanici Javorník (7,3 °C). Průměrně nejchladněji bylo v březnu na Malém Dědu (0,1 °C). Druhá nejnižší průměrná teplota vzduchu byla zaznamenána na Šeráku (0,4 °C). Na Papsku byla zaznamenána třetí nejnižší průměrná teplota vzduchu (2,8 °C). V březnu byl v kraji nejteplejší 14. den měsíce s průměrnou teplotou vzduchu v kraji 10,8 °C. Nejvyšší denní průměrná teplota vzduchu na stanici byla naměřena tento den ve Vidnavě (14,6 °C). Nejchladnějším dnem byl 31. březen, s průměrnou teplotou vzduchu v kraji 2,3 °C. Nejnižší hodnota denní průměrné teploty vzduchu (−5,5 °C) byla naměřena 28. března na Šeráku. Nejvyšší maximální teplota vzduchu,

18,7 °C, byla zaznamenána dne 8. března na stanici Hanušovice. Nejnižší hodnota maximální teploty vzduchu (-4,4 °C) byla naměřena dne 27. března na stanici Malý Děd. Nejnižší minimální teplota vzduchu, -6,7 °C, byla naměřena dne 28. března na stanicích Šerák a Malý Děd. Nejvyšší hodnota minimální teploty vzduchu, 9,9 °C, byla naměřena dne 10. března na stanici Vidnava. Nejnižší přízemní minimální teplota vzduchu (-9,4 °C) byla změřena na stanici Prostějov dne 6. března.

Srážek spadlo v kraji průměrně 26 mm, to je 54 % normálu 1991–2020 (srážkově podnormální měsíc). V Olomouci spadlo 14,5 mm, což je 49 % normálu, v Šumperku 16,5 mm (37 % normálu) a na Šeráku 55,9 mm (71 % normálu). Nejvyšší měsíční úhrn srážek v kraji zaznamenala stanice Jeseník (68,7 mm). Druhý nejvyšší zaznamenala stanice Dlouhá stráně, Kouty nad Desnou (64,5 mm) a třetí nejvyšší Bělá pod Pradědem, Adolfovice, vodárna (60,3 mm). Nejnižší měsíční srážkový úhrn jsme zaznamenali na stanicích Černá Voda (9,4 mm), Štítý (12,1 mm) a Plumlov (12,6 mm). Nejvyšší denní úhrn srážek, 21,5 mm, zaznamenala dne 25. března stanice Bělá pod Pradědem, Adolfovice, vodárna.

Nejvíce nového sněhu v měsíci (7 cm) zaznamenala stanice Bělá pod Pradědem, Adolfovice, vodárna, dále 6 cm nového sněhu napadlo na stanici Malá Morava, Sklené a 4 cm na stanici Jeseník. Nejvyšší hodnota celkové sněhové pokrývky v kraji (55 cm) byla naměřena 1.–3. března na Malém Dědu.

Slunce svítilo v kraji průměrně 176 hodin. V březnu slunce svítilo nejvíce na stanicích Olomouc (192,4 hod.), Bělotín (192 hod.) a Přerov (190,2 hod.). Naopak nejméně svítilo slunce na stanicích Jeseník (156,7 hod.), Javorník (163,7 hod.) a Dubicko (166,3 hod.). Nejvyšší denní úhrn slunečního svitu jsme naměřili na stanici Bělotín dne 5. a 18. března a 6. března na stanici Luká, kdy slunce svítilo 10,7 hodin.

Z hlediska průměrných rychlostí větru na všech stanicích v kraji byl největrnější den 14. března. Nejvyšší maximální rychlosti větru pak zaznamenaly v tento den stanice Protivanov (20,2 m.s⁻¹) a Šternberk (20,1 m.s⁻¹). V Olomouci dosáhl vítr maximální rychlosti 17,9 m.s⁻¹ také dne 14. března.

Zlínský kraj

Ve Zlínském kraji byla průměrná teplota vzduchu v březnu 6,0 °C. Kraj byl o 2,8 °C teplejší než teplotní normál 1991–2020 pro měsíc březen (silně nadnormální měsíc). Ve Zlíně byla průměrná teplota vzduchu 7,2 °C (o 3,2 °C tepleji než normál), ve Valašském Meziříčí 6,5 °C (o 3,1 °C tepleji než normál) a na Marušce 5,9 °C (o 3,2 °C tepleji než normál). Průměrně nejtepleji bylo na stanici Kroměříž (7,4 °C). Druhá nejvyšší hodnota byla naměřena na stanicích Holešov a Zlín (7,2 °C) a třetí na stanici Staré Město (7,1 °C). Průměrně nejchladněji (3,9 °C) bylo na stanici Velké Karlovice, dále na stanici Valašská Senice (4,4 °C) a na Beneškách a na Kohútce (4,5 °C). Nejteplejší den byl 14. březen s průměrnou denní teplotou vzduchu v kraji 11,4 °C. Nejvyšší denní průměrná teplota vzduchu na stanici (13,0 °C) byla naměřena v tento den na stanici Bystřice pod Hostýnem. Nejchladnějším dnem byl 26. březen s denní průměrnou teplotou vzduchu v kraji 1,9 °C. Nejnižší denní průměrná teplota vzduchu na stanici, -1,9 °C, byla naměřena 27. března na Beneškách a na Kohútce. Nejvyšší maximální teplota vzduchu, 18,2 °C, byla zaznamenána dne 8. března v Bojkovicích. Nejnižší hodnota maximální teploty vzduchu (-1,0 °C) byla naměřena dne 27. března na stanici Kohútka. Nejnižší minimální teplota vzduchu, -5,7 °C, byla naměřena dne 6. března na stanici Hošťálková. Nejvyšší hodnota minimální teploty vzduchu byla naměřena 14. března na stanici Bystřice pod Hostýnem (9,8 °C). Nejnižší přízemní minimální teplota vzduchu (-9,0 °C) byla naměřena ve dnech 6. a 20. března na stanici Hošťálková.

V celém kraji spadlo v březnu průměrně 35 mm srážek, což odpovídá 69 % normálu 1991–2020 (srážkově normální měsíc). Ve Valašském Meziříčí bylo naměřeno 52,1 mm srážek (113 % normálu), na Marušce 39,1 mm (75 % normálu) a ve Zlíně 23,6 mm (53 % normálu). Nejvíce srážek v kraji spadlo v březnu na stanici Rožnov pod Radhoštěm (55,6 mm), dále na stanicích Valašské Meziříčí (52,1 mm) a Strání (51,5 mm). Nejméně srážek bylo zaznamenáno na stanicích Valašské Klobouky (14,7 mm), Zlín (23,6 mm) a Morkovice-Slížany, Slížany (23,7 mm). Nejvyšší denní úhrn srážek, 25,8 mm, byl zaznamenán dne 26. března na stanici Strání. Nejvíce nového sněhu v měsíci (23 cm) zaznamenaly stanice Kudlačena a Maruška, dále 14 cm nového sněhu napadlo na stanici Horní Bečva a 13 cm na stanici Kateřinice, Ojičná. Nejvyšší hodnota celkové sněhové pokrývky v kraji (23 cm) byla naměřena 28. března na stanici Kohútka.

V kraji svítalo slunce průměrně 181,4 hodin. Nejdelsí sluneční svit byl zaznamenán na stanicích Maruška (197,5 hod.), Holešov (192,1 hod.) a Staré Město (190,7 hod.), nejméně svítalo slunce na Valašská Senice (134,8 hod.), následovaly stanice Štítná nad Vláří - Popov (153,1 hod.) a Horní Bečva (153,7 hod.). Nejvyšší denní úhrn délky slunečního svitu v kraji (10,9 hod.) byl změřen 5. března na stanici Maruška a 19. března na stanici Staré Město. Z hlediska průměrných rychlostí větru na všech stanicích v kraji byl největrnější den 14. březen.

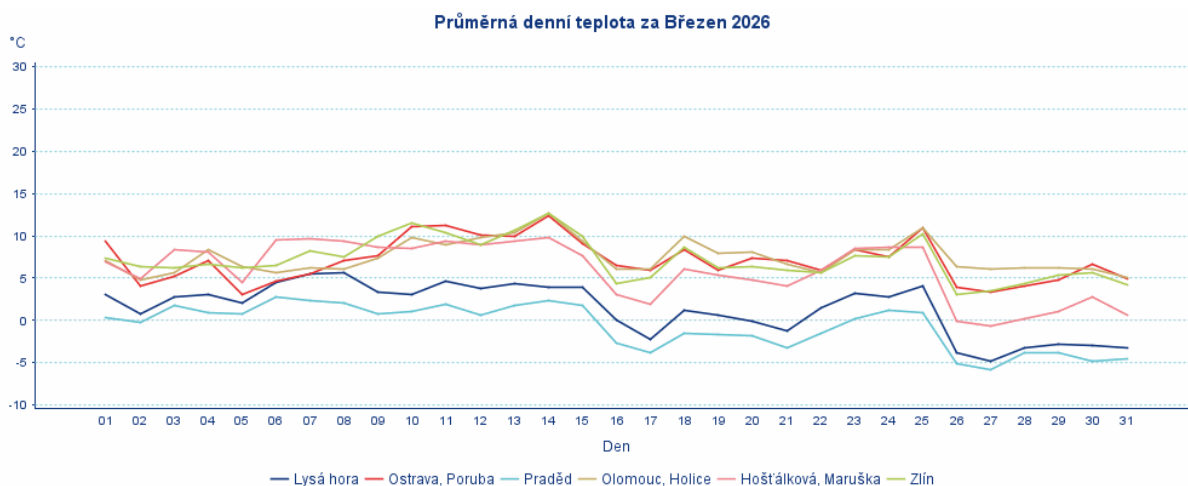
Nejvyšší maximální rychlosti větru zaznamenaly stanice Maruška (24,5 m.s⁻¹) a Holešov (20,4 m.s⁻¹).

Měsíc březen 2026 byl vyhodnocen na základě údajů ze všech dostupných měření na začátku měsíce dubna 2026. Uvedené údaje jsou tedy pouze předběžné a mohou se ještě měnit, neboť data nebyla kompletně verifikována. K porovnání byly použity příslušné měsíční normály 1991–2020.

Teploty vzduchu

Tab. 1 Vybrané teplotní charakteristiky v březnu 2026

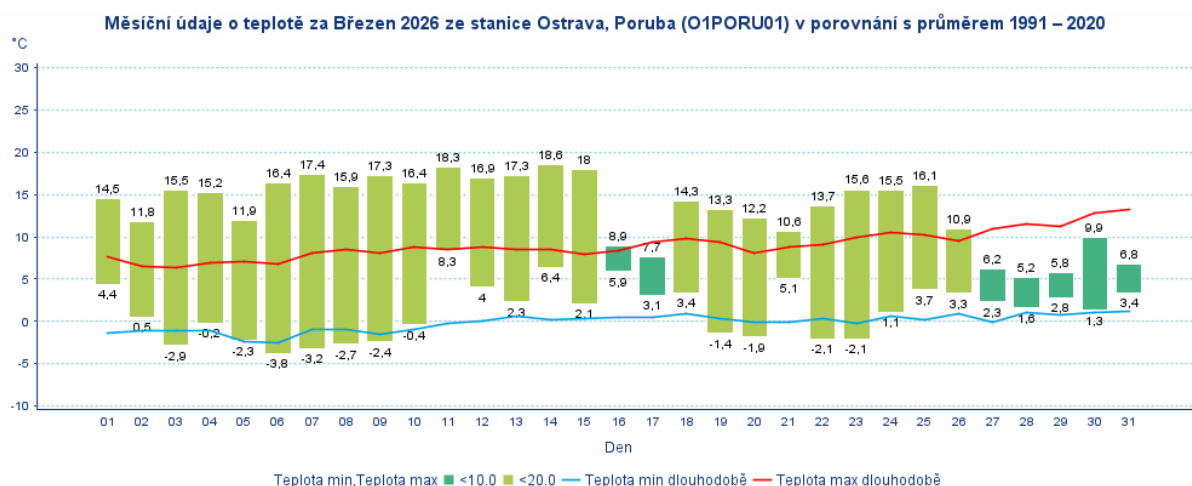
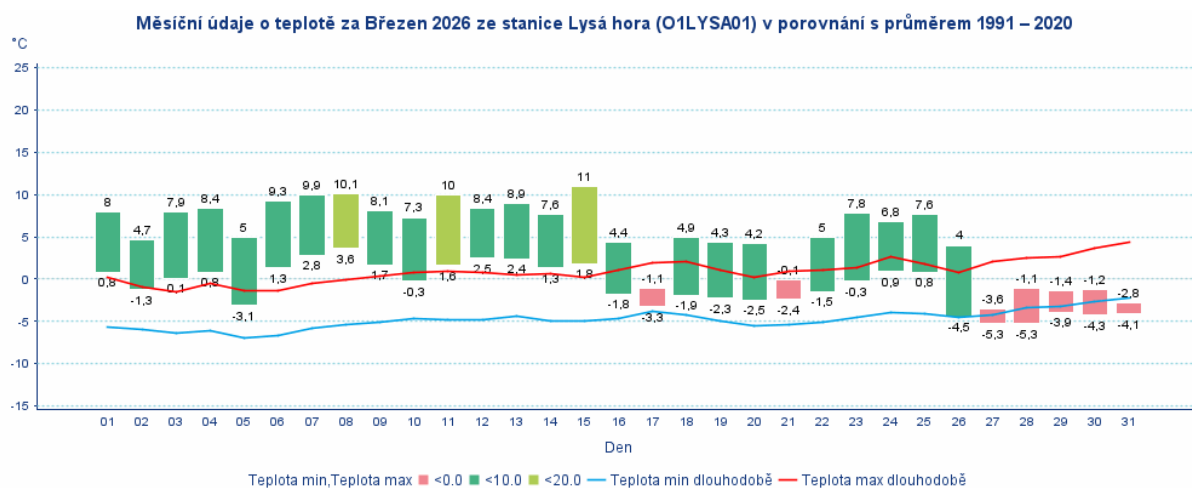
Charakteristika	Moravskoslezský kraj	Olomoucký kraj	Zlínský kraj
Průměrná měsíční teplota (°C)	5,6	5,7	6,0
Odchylka od dlouhodobého průměru (°C)	+2,9	+2,8	+2,8
Nejvyšší průměrná měsíční teplota (°C)	Slezská Ostrava 7,7	Šternberk a Paseka 7,7	Kroměříž 7,4
Nejnižší průměrná měsíční teplota (°C)	Praděd -0,7	Malý Děd 0,1	Velké Karlovice 3,9
Nejteplejší / Nejchladnější den měsíce	14/27	14/31	14/26
Absolutní maximum teploty (°C)	11. den Karviná 19,1	8. den Hanušovice 18,7	8. den Bojkovice 18,2
Absolutní minimum teploty (°C)	28. den Praděd -7,2	28. den Šerák a Malý Děd -6,7	6. den Hošťálková -5,7
Nejnižší přízemní teplota (°C)	20. den Rýmařov -11,0	6. den Prostějov -9,4	6. a 20. den Hošťálková -9,0



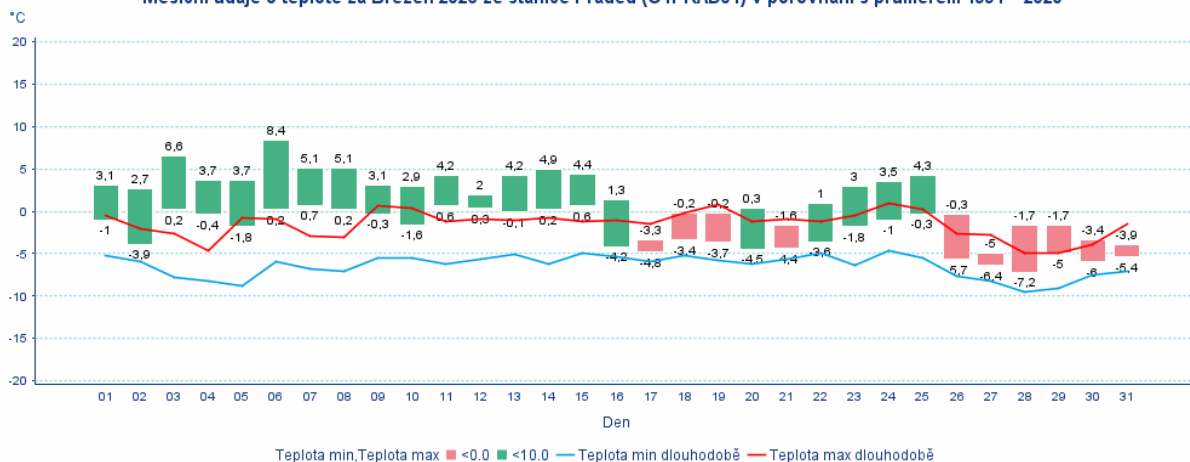
Obr. 1 Průběh průměrných denních teplot vzduchu na vybraných stanicích Lysá hora (1322 m n.m.), Ostrava-Poruba (242 m n.m.), Praděd (1490 m n.m.), Olomouc-Holice (210 m n.m.), Hošťálková-Marůška (664 m n.m.) a Zlín (283 m n.m.)

Tab. 2 Dosud zaznamenané extrémy na vybraných stanicích v březnu 2026

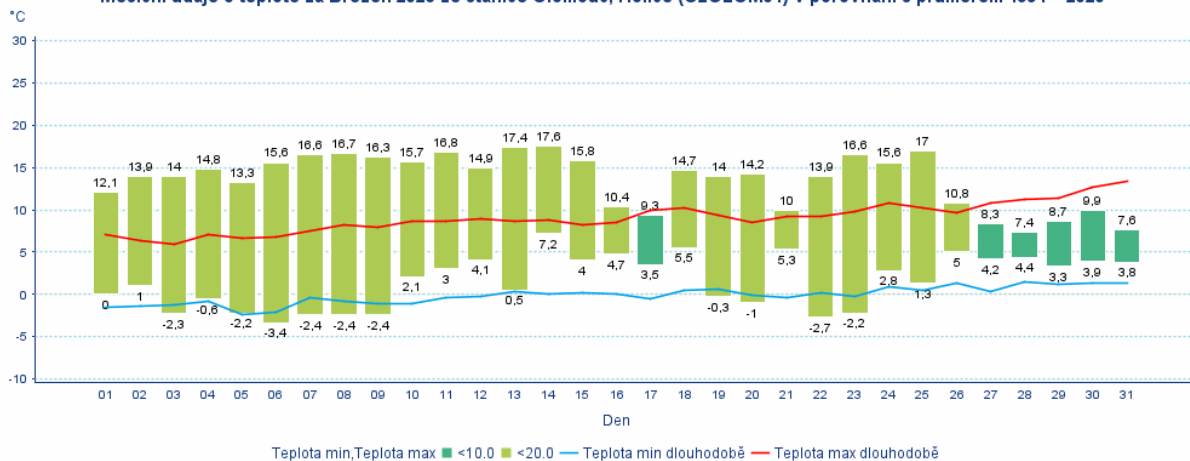
Kraj	Maximální teplota			Minimální teplota		
	stanice	datum extrému	hodnota (°C)	stanice	datum extrému	hodnota (°C)
Moravskoslezský	Ostrava, Radvanice	31. 3. 2021	24,8	Kravaře	3. 3. 1929	-31,0
Olomoucký	Prosenice	31. 3. 2021	25,0	Štíty	3. 3. 1929	-30,5
Zlínský	Napajedla	26. 3. 1921	26,0	Valašské Meziříčí, Krásno	2. 3. 1929	-31,6



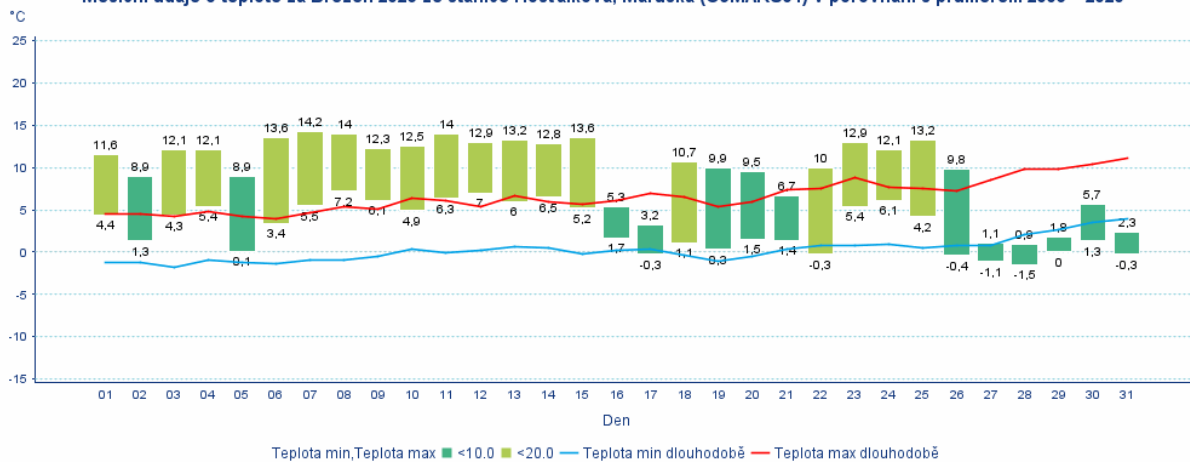
Měsíční údaje o teplotě za Březen 2026 ze stanice Praděd (O1PRAD01) v porovnání s průměrem 1991 – 2020

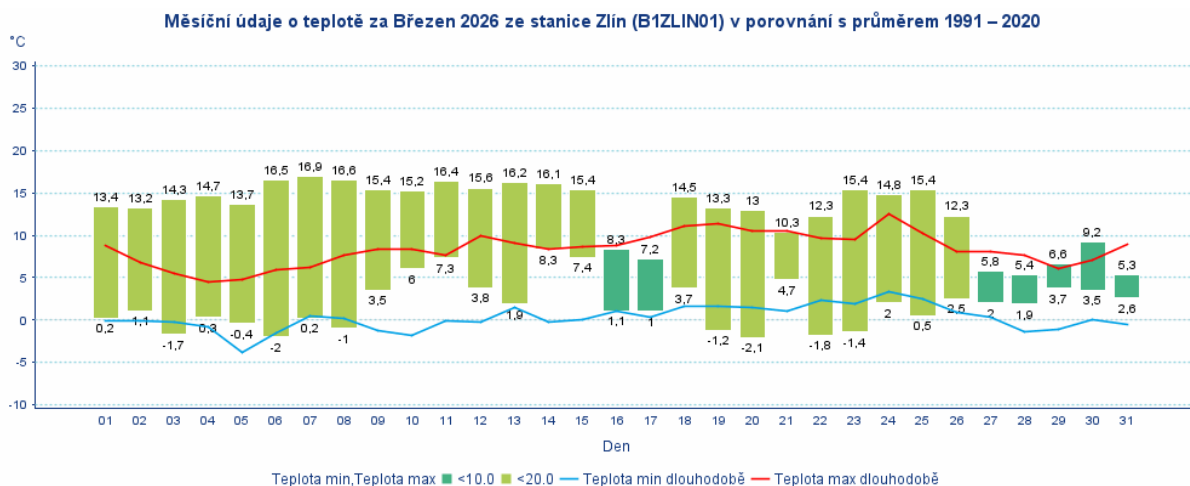


Měsíční údaje o teplotě za Březen 2026 ze stanice Olomouc, Holice (O2OLOM01) v porovnání s průměrem 1991 – 2020

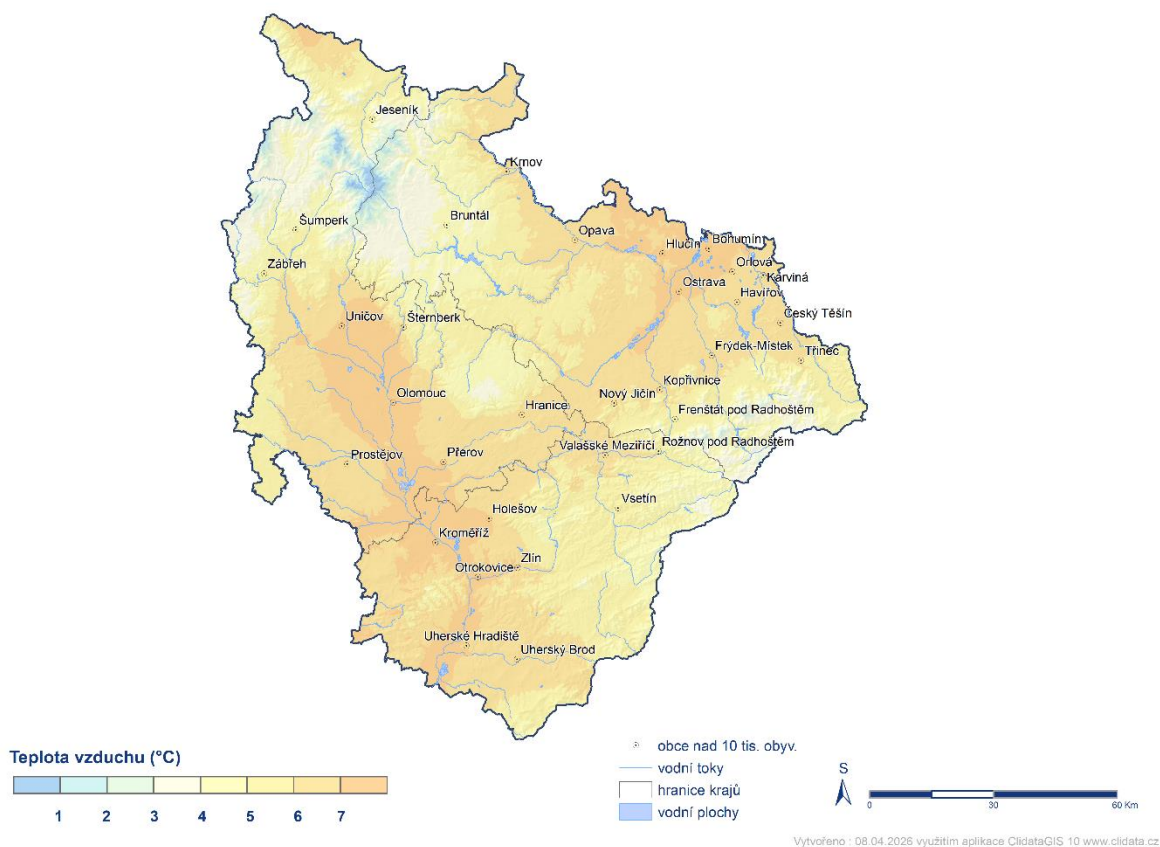


Měsíční údaje o teplotě za Březen 2026 ze stanice Hošťálková, Maruška (O3MARU01) v porovnání s průměrem 2006 – 2025





Obr. 2 a–f Průběh maximálních a minimálních teplot vzduchu na stanicích Lysá hora (1322 m n.m.), Ostrava-Poruba (242 m n.m.), Praděd (1490 m n.m.), Olomouc-Holice (210 m n.m.), Hošťálková-Maruška (664 m n.m.) a Zlín (283 m n.m.)

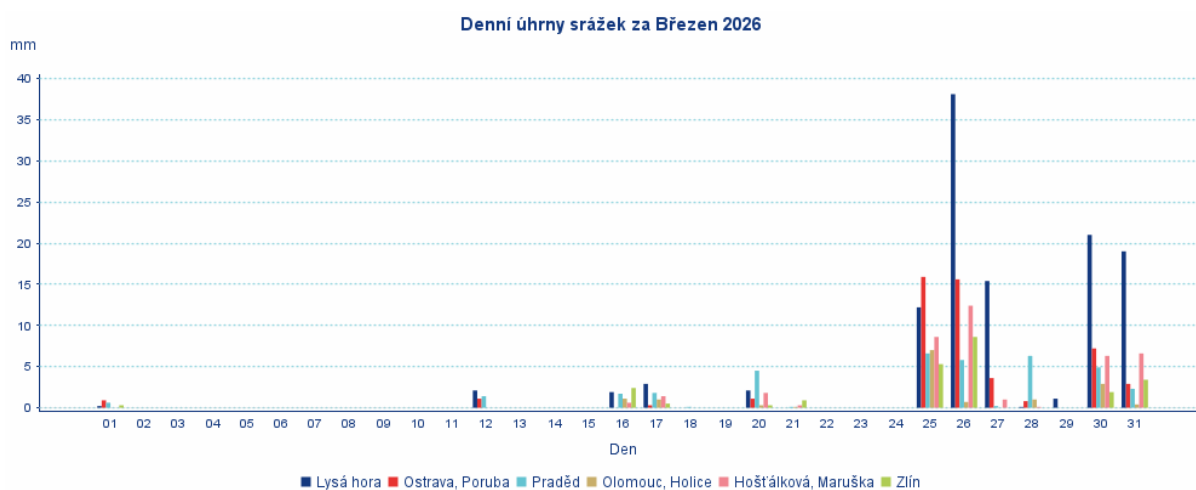


Obr. 3 Prostorové rozložení průměrné měsíční teploty na území Olomouckého, Moravskoslezského a Zlínského kraje

Srážky

Tab. 3 Vybrané srážkové charakteristiky v březnu 2026

Charakteristika	Moravskoslezský kraj	Olomoucký kraj	Zlínský kraj
Průměrný měsíční úhrn v regionu (mm)	46	26	35
v % dlouhodobé hodnoty	90	54	69
Nejvyšší měsíční úhrn (mm)	Lysá hora 116,1	Jeseník 68,7	Rožnov pod Radhoštěm 55,6
Nejnižší měsíční úhrn (mm)	Rýmařov 23,0	Černá Voda 9,4	Valašské Klobouky 14,7
Nejvyšší denní úhrn (mm)	26. den Lysá hora 38,1	25. den Bělá pod Pradědem, Adolfovice, vodárna 21,5	26. den Strání 25,8

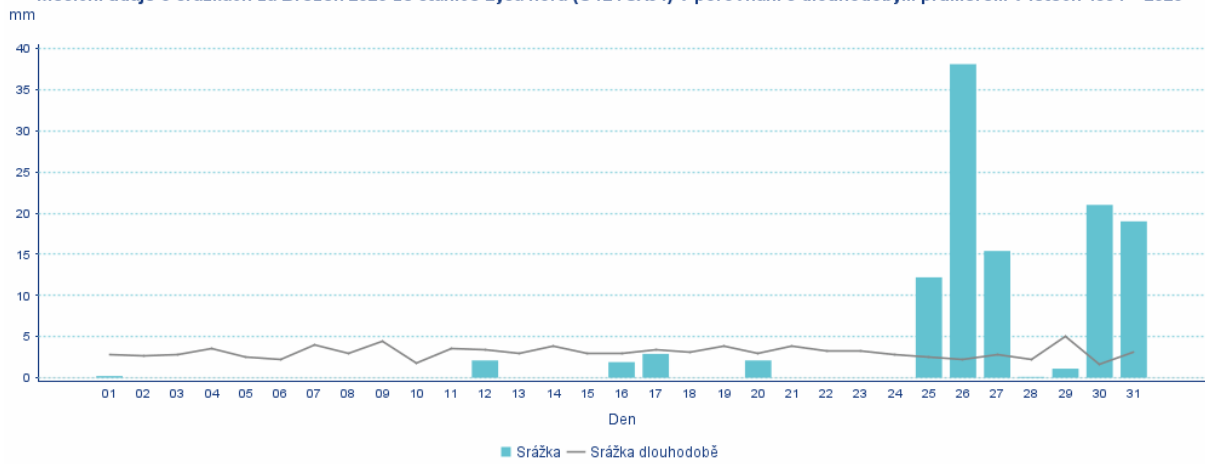


Obr. 4 Průběh denních úhrnů srážek na vybraných stanicích Lysá hora (1322 m n.m.), Ostrava-Poruba (242 m n.m.), Praděd (1490 m n.m.), Olomouc-Holice (210 m n.m.), Hošťálková-Marůška (664 m n.m.) a Zlín (283 m n.m.)

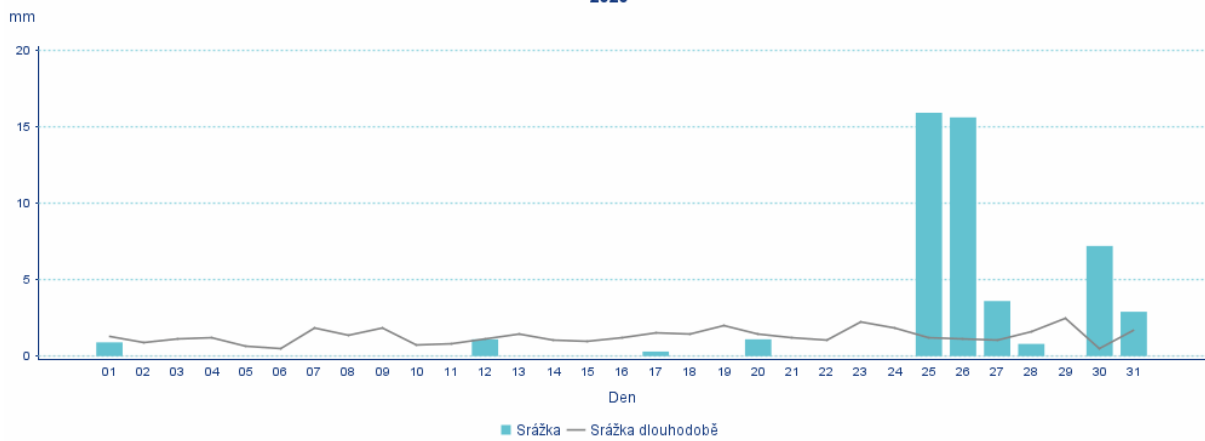
Tab. 4 Dosud zaznamenané extrémy na vybraných stanicích v březnu

Úhrn srážek	Maximální denní úhrn srážek		
	stanice	datum extrému	hodnota (mm)
Kraj			
Moravskoslezský	Morávka, Úspolka	4. 3. 1901	88,7
Olomoucký	Červenohorské sedlo	2. 3. 1896	88,0
Zlínský	Horní Bečva, Bečvice	12. 3. 1915	91,7

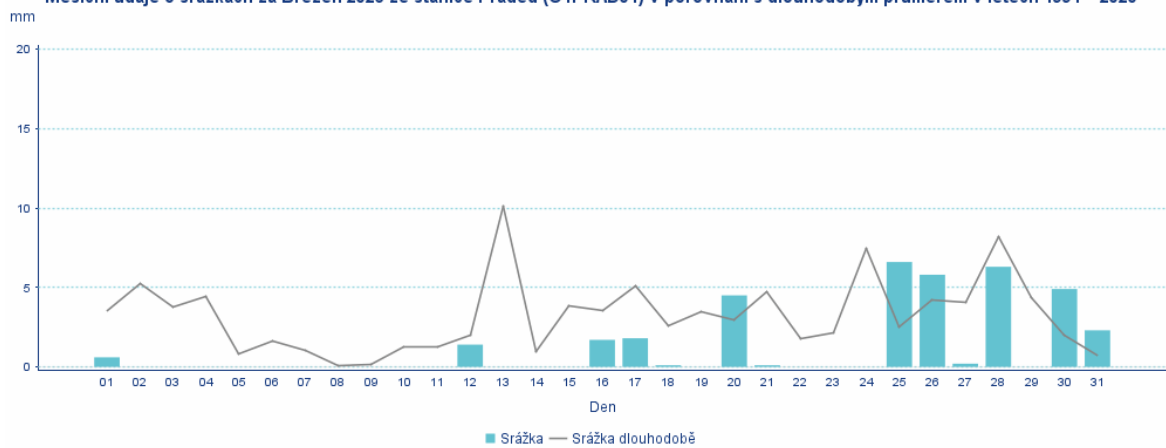
Měsíční údaje o srážkách za Březen 2026 ze stanice Lysá hora (O1LYSA01) v porovnání s dlouhodobým průměrem v letech 1991 – 2020



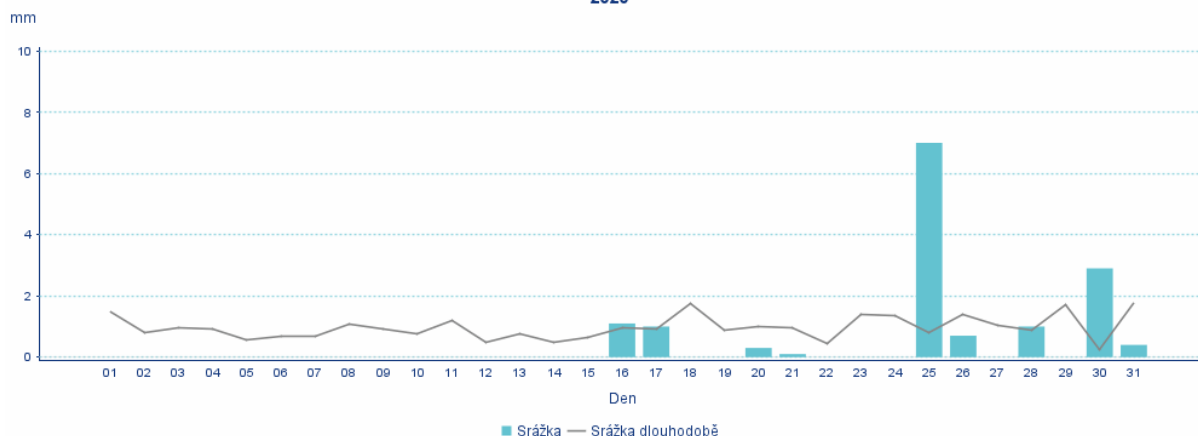
Měsíční údaje o srážkách za Březen 2026 ze stanice Ostrava, Poruba (O1PORU01) v porovnání s dlouhodobým průměrem v letech 1991 – 2020



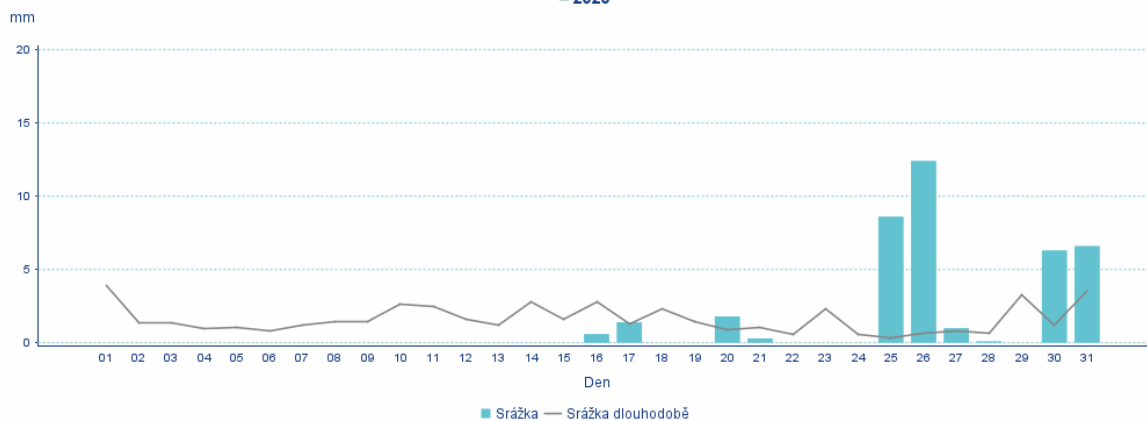
Měsíční údaje o srážkách za Březen 2026 ze stanice Praděd (O1PRAD01) v porovnání s dlouhodobým průměrem v letech 1991 – 2020



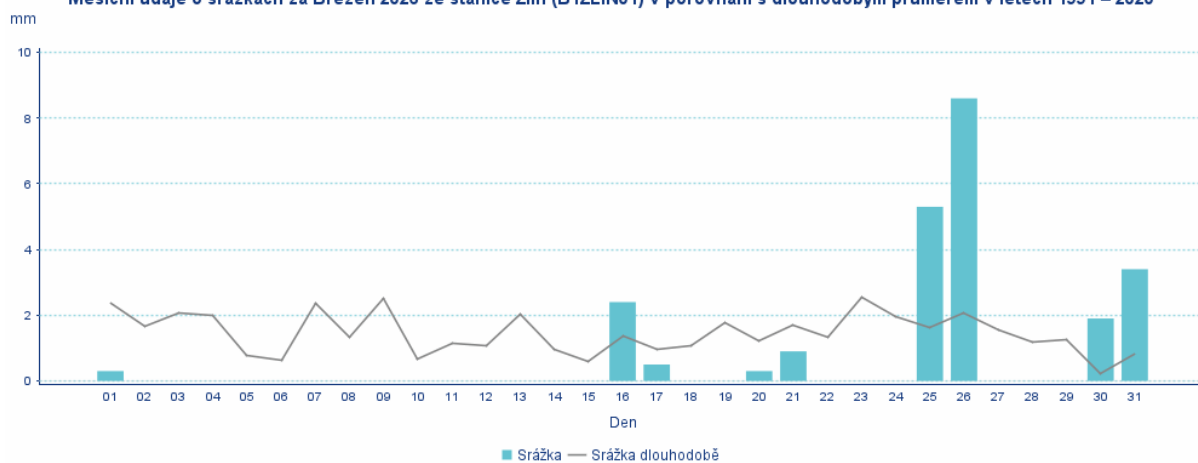
Měsíční údaje o srážkách za Březen 2026 ze stanice Olomouc, Holice (O2OLOM01) v porovnání s dlouhodobým průměrem v letech 1991 – 2020



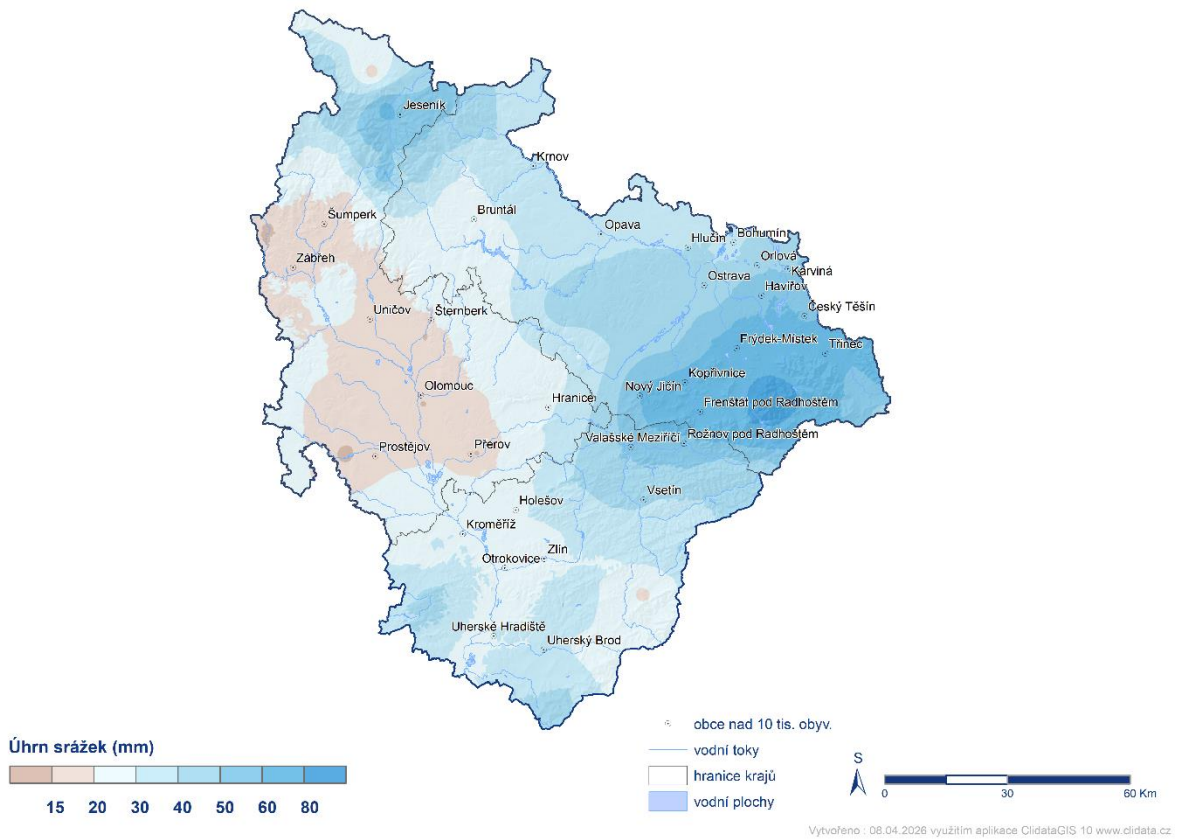
Měsíční údaje o srážkách za Březen 2026 ze stanice Hošťálková, Maruška (O3MARU01) v porovnání s dlouhodobým průměrem v letech 2006 – 2025



Měsíční údaje o srážkách za Březen 2026 ze stanice Zlín (B1ZLIN01) v porovnání s dlouhodobým průměrem v letech 1991 – 2020



Obr. 5 a–f Průběh srážek na stanicích Lysá hora (1322 m n.m.), Ostrava-Poruba (242 m n.m.), Praděd (1490 m n.m.), Olomouc-Holice (210 m n.m.), Hošťálková-Marůška (664 m n.m.) a Zlín (283 m n.m.)



Obr. 6 Prostorové rozložení měsíčních úhrnů srážek na území Olomouckého, Moravskoslezského a Zlínského kraje

Hydrologická situace

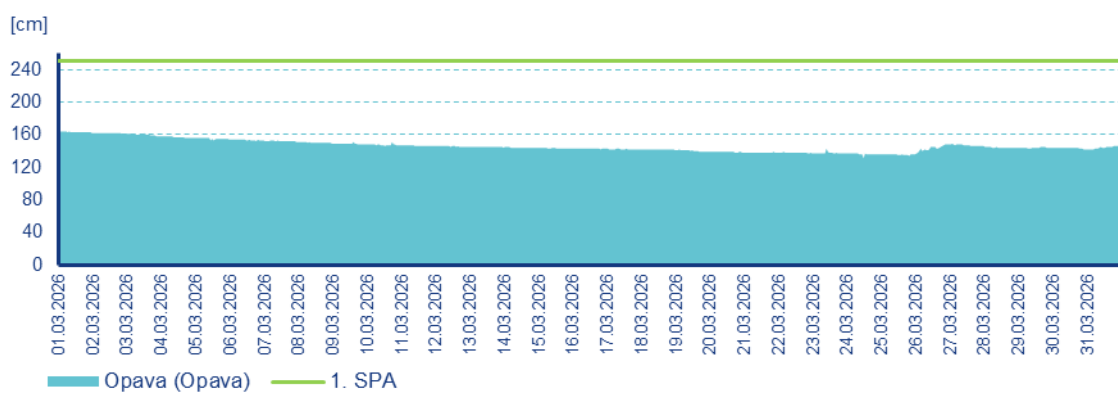
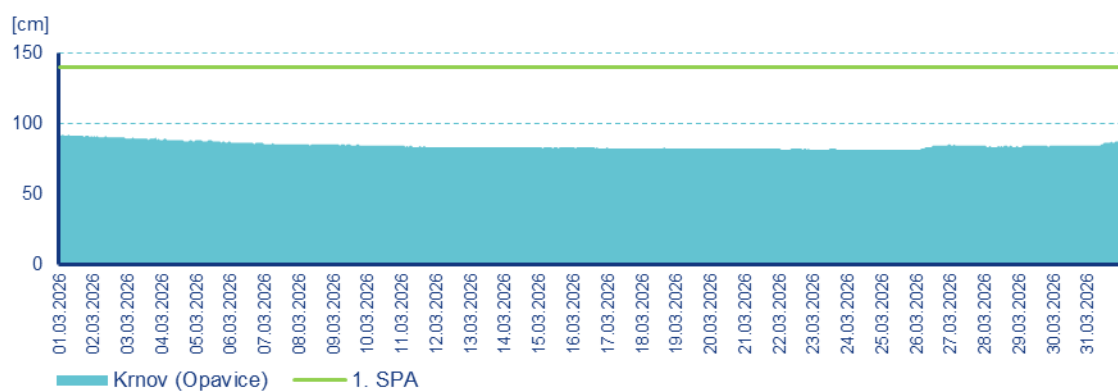
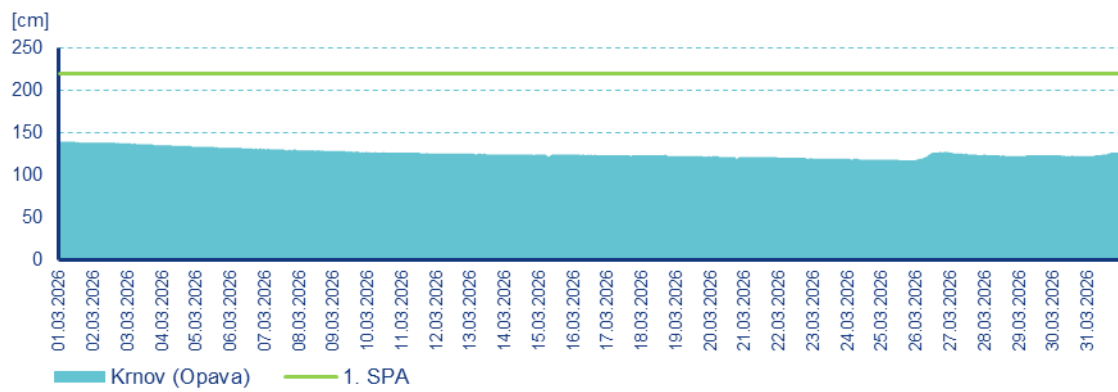
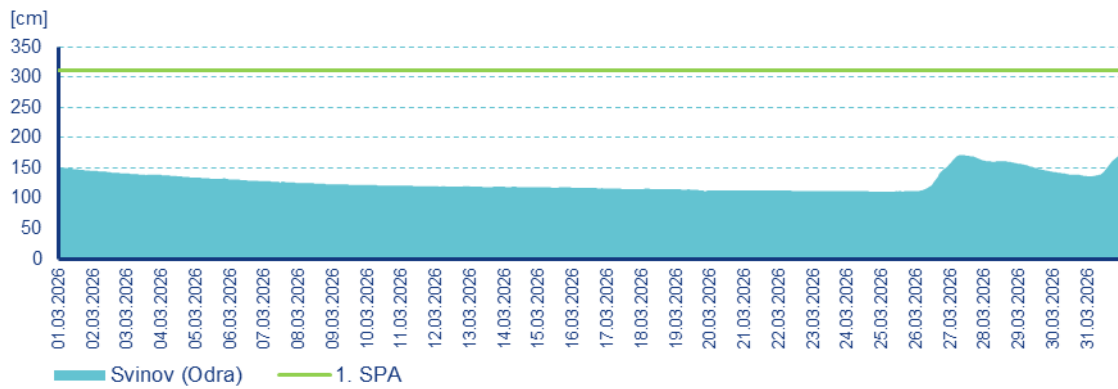
Povodí Odry

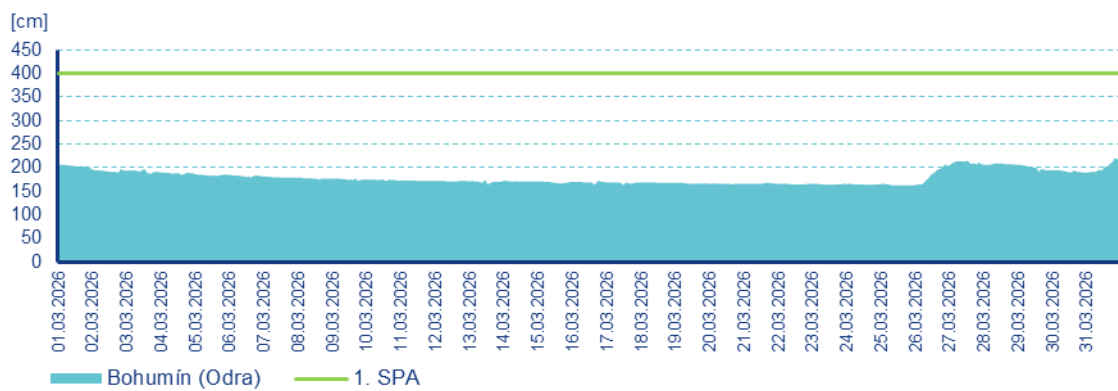
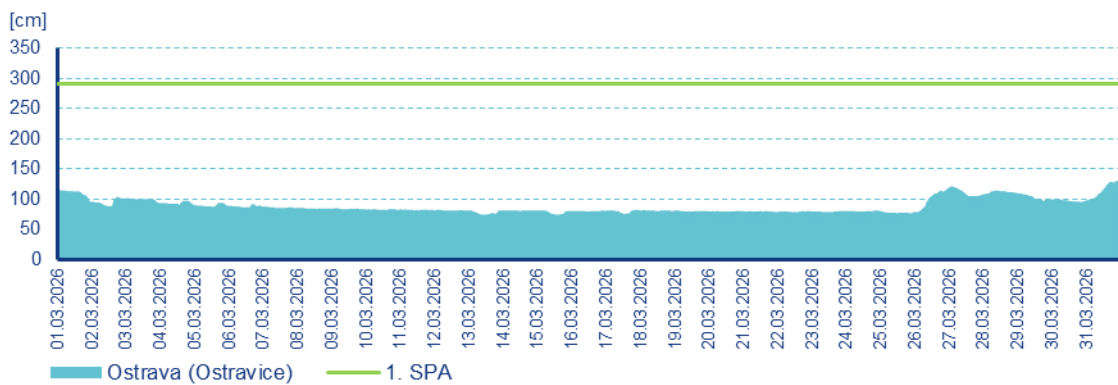
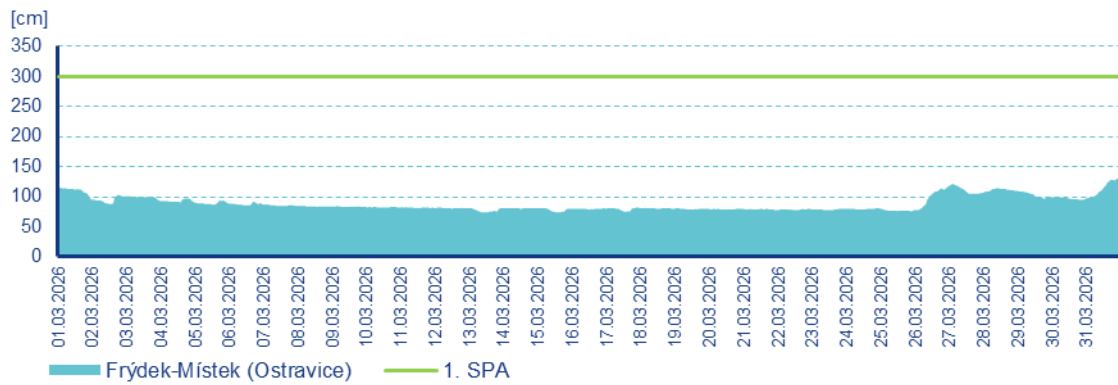
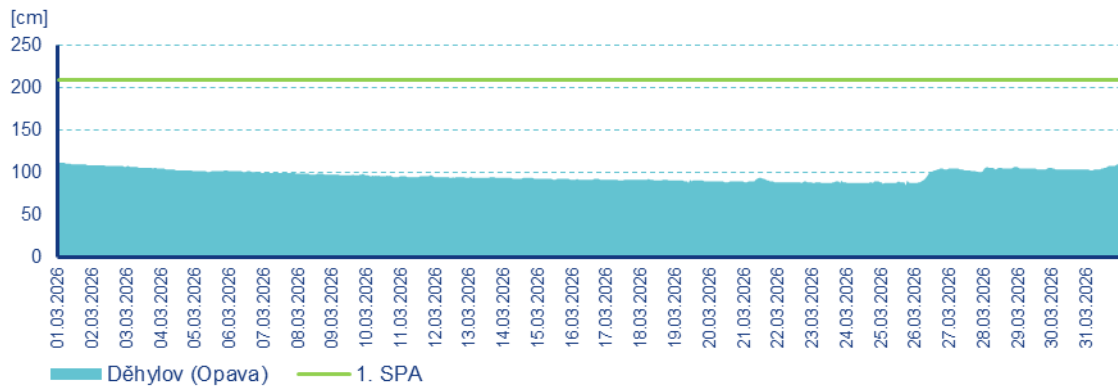
Na začátku měsíce března hladiny vodních toků v povodí Odry zvolna klesaly, až do poloviny třetí dekády měsíce pak byly převážně setrvalé. Na konci března docházelo vlivem dešťových srážek a tání sněhu ke kolísání a vzestupům hladin. V horských oblastech, přechodně i níže, vypadávaly srážky ve formě sněhu, a hladiny horských toků byly převážně setrvalé nebo mírně rozkolísané.

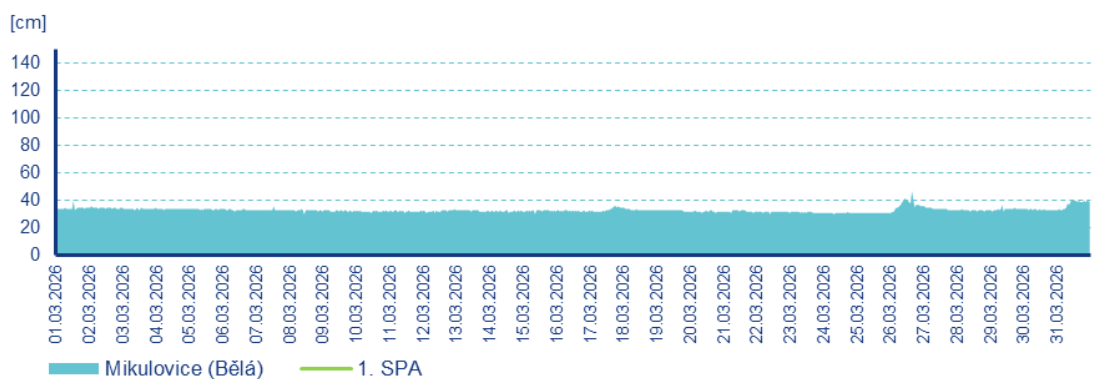
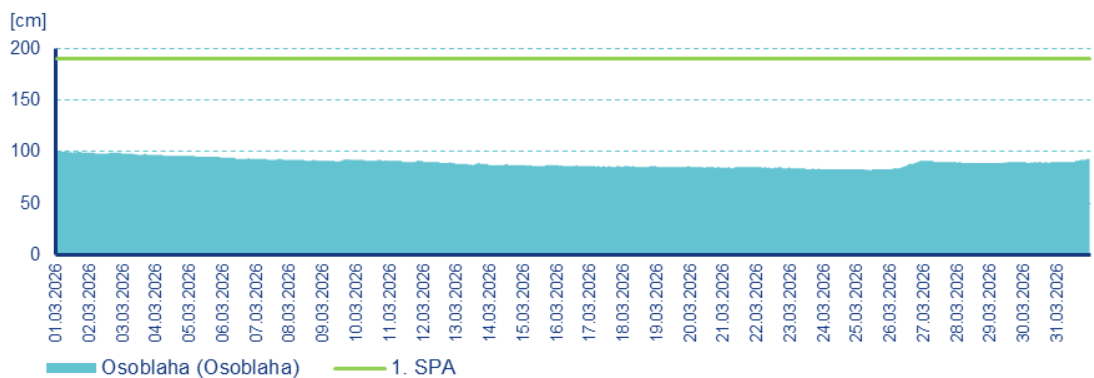
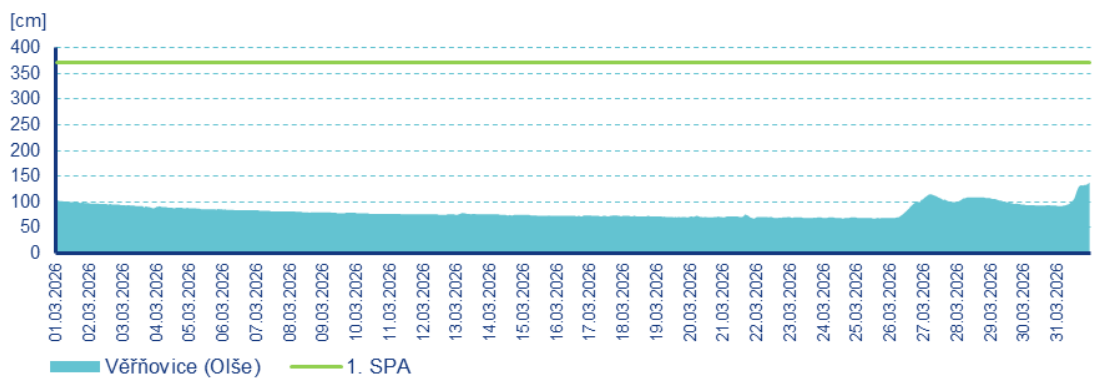
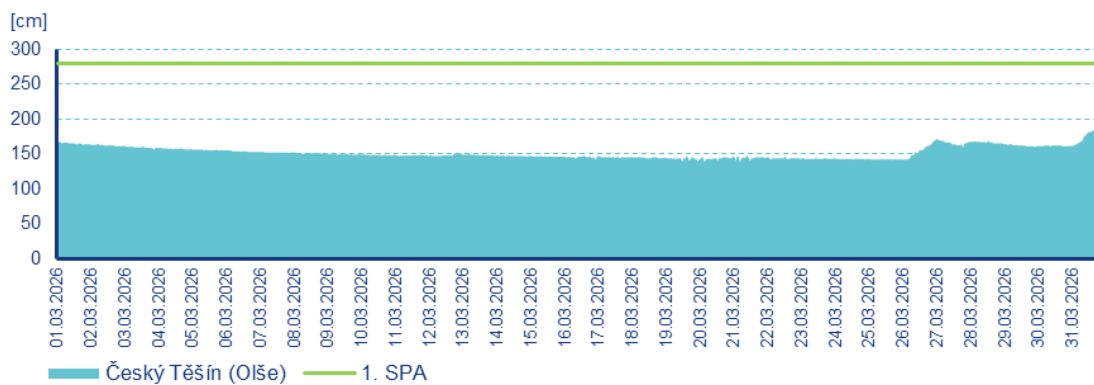
Odra v profilu Svinov kulminovala dne 31. března v 23:40 hodin při hodnotě průtoku $29,9 \text{ m}^3 \cdot \text{s}^{-1}$. Dne 1. března dosáhla svého maxima Opavice v Krnově v 01:00 při $3,75 \text{ m}^3 \cdot \text{s}^{-1}$, Opava v Krnově v 00:00 hodin při průtoku $4,08 \text{ m}^3 \cdot \text{s}^{-1}$, v Opavě ve 00:00 hodin při průtoku $8,64 \text{ m}^3 \cdot \text{s}^{-1}$ a v Děhylově v 00:00 hodin při průtoku $13,8 \text{ m}^3 \cdot \text{s}^{-1}$. Poslední den v měsíci, 31. března, pak kulminovala Ostravice ve Frýdku Místku v 20:00 hodin při průtoku $18,1 \text{ m}^3 \cdot \text{s}^{-1}$, v Ostravě ve 22:50 hodin při $28,6 \text{ m}^3 \cdot \text{s}^{-1}$, Odra v Bohumíně v 23:40 hodin při průtoku $70 \text{ m}^3 \cdot \text{s}^{-1}$, Olše v Českém Těšíně v 20:30 hodin při průtoku $24,5 \text{ m}^3 \cdot \text{s}^{-1}$ a ve Věřňovicích v 23:40 hodin při $41,6 \text{ m}^3 \cdot \text{s}^{-1}$. Dne 1. března došlo ke kulminaci na Osoblaze v Osoblaze ve 00:10 hodin při průtoku $2,35 \text{ m}^3 \cdot \text{s}^{-1}$ a dne 26. března na Bělé v Mikulovicích v 14:00 hodin při hodnotě průtoku $5,56 \text{ m}^3 \cdot \text{s}^{-1}$.

Průměrná měsíční vodnost neovlivněných toků se pohybovala nejčastěji v rozmezí Q_{180d} až Q_{120d} . Průměrné měsíční průtoky se pohybovaly pod hodnotou dlouhodobého měsíčního průměru (Bohumín – 49 % Q_{III}), nejčastěji v rozmezí od 30 do 75 % Q_{III} .

Na řece Bělé bylo Povodím Odry, s. p. obnoveno měření v Mikulovicích. Jedná se provizorní stanici na Hradeckém mostě cca 1,5 km nad původní stanicí, která byla při povodních v září 2024 zcela zničena. Po dobu provizorního měření nebudou uváděny limity pro SPA ani vyhodnocovány dlouhodobé charakteristiky.







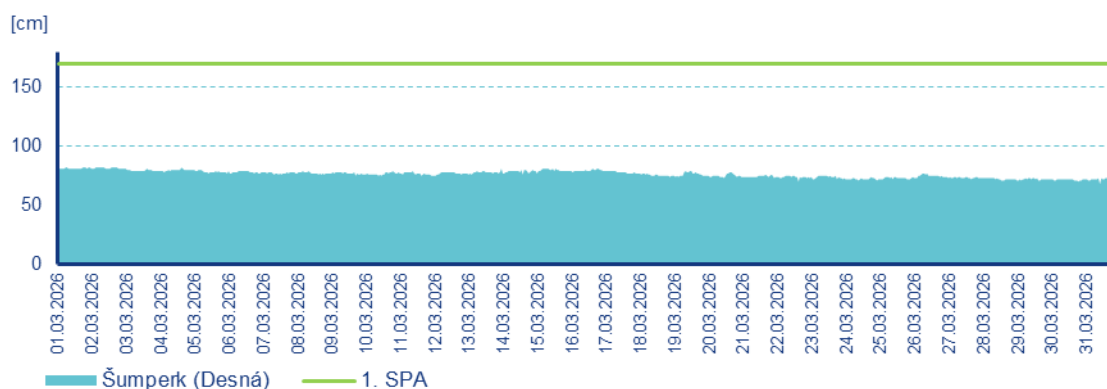
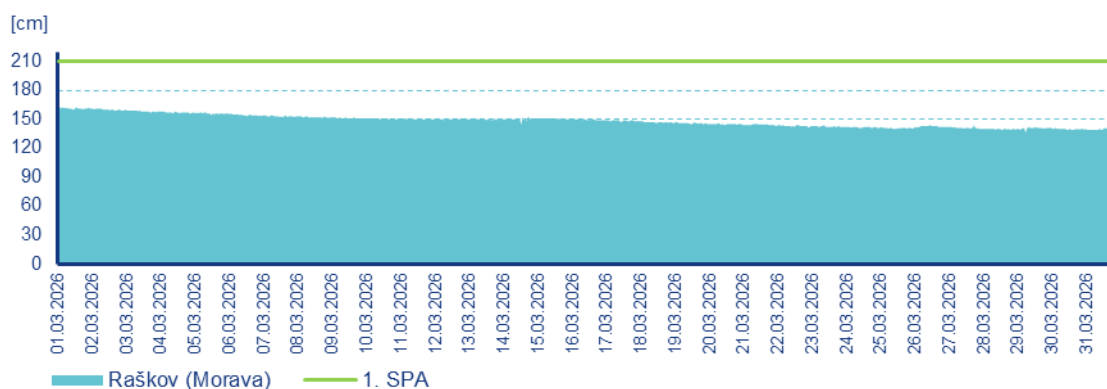
Obr. 7 Hodinové stavy ve vybraných profilech na tocích v povodí Odry

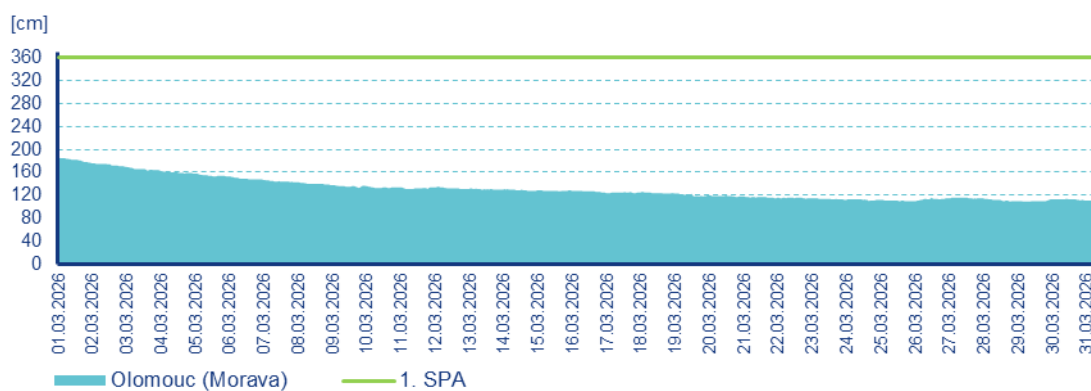
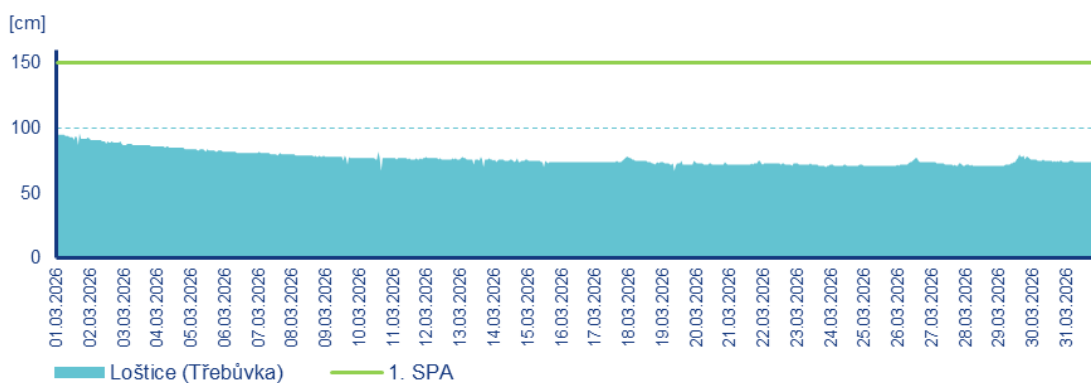
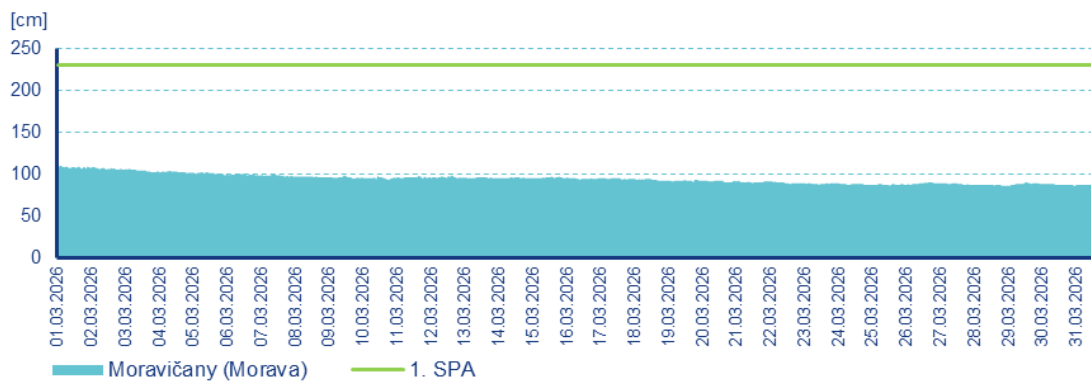
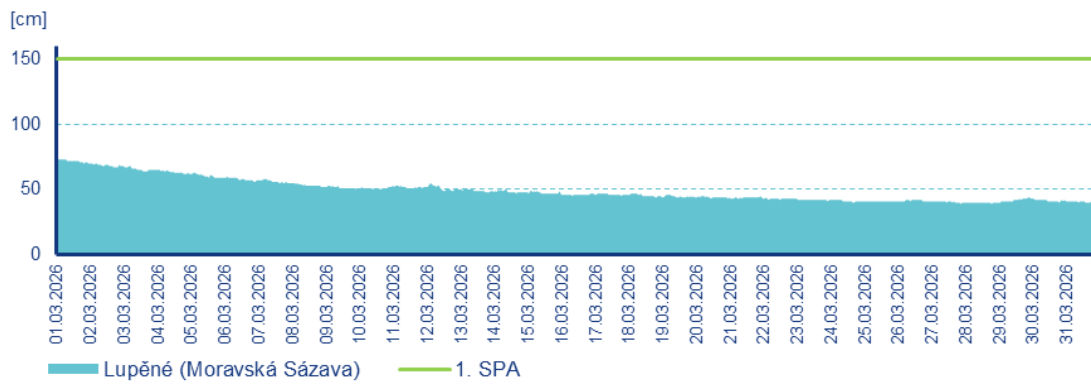
Povodí horní Moravy

Hladiny vodních toků na začátku měsíce března zvolna klesaly, v druhé a třetí dekádě pak byly převážně setrvalé nebo jen mírně rozkolísané v celém povodí horní Moravy.

Morava v Raškově kulminovala dne 1. března ve 00:00 hodin při průtoku $8,91 \text{ m}^3 \cdot \text{s}^{-1}$, Desná v Šumperku dne 2. března ve 07:40 hodin při průtoku $4,12 \text{ m}^3 \cdot \text{s}^{-1}$. Dne 1. března kulminovala Moravská Sázava v Lupěném v 00:50 hodin při průtoku $8,15 \text{ m}^3 \cdot \text{s}^{-1}$, Morava v Moravičanech v 01:00 hodin při hodnotě průtoku $19,8 \text{ m}^3 \cdot \text{s}^{-1}$, Třebůvka v Lošticích v 11:30 hodin při průtoku $4,77 \text{ m}^3 \cdot \text{s}^{-1}$ a Morava v Olomouci v 00:00 hodin při $47,7 \text{ m}^3 \cdot \text{s}^{-1}$.

Průměrná měsíční vodnost toků se pohybovala nejčastěji v rozmezí od Q_{180d} až Q_{150d} . Průměrné měsíční průtoky se pohybovaly pod hodnotou dlouhodobého průměru pro měsíc březen (Olomouc – 47 % Q_{III}), nejčastěji od 30 do 55 % Q_{III} .





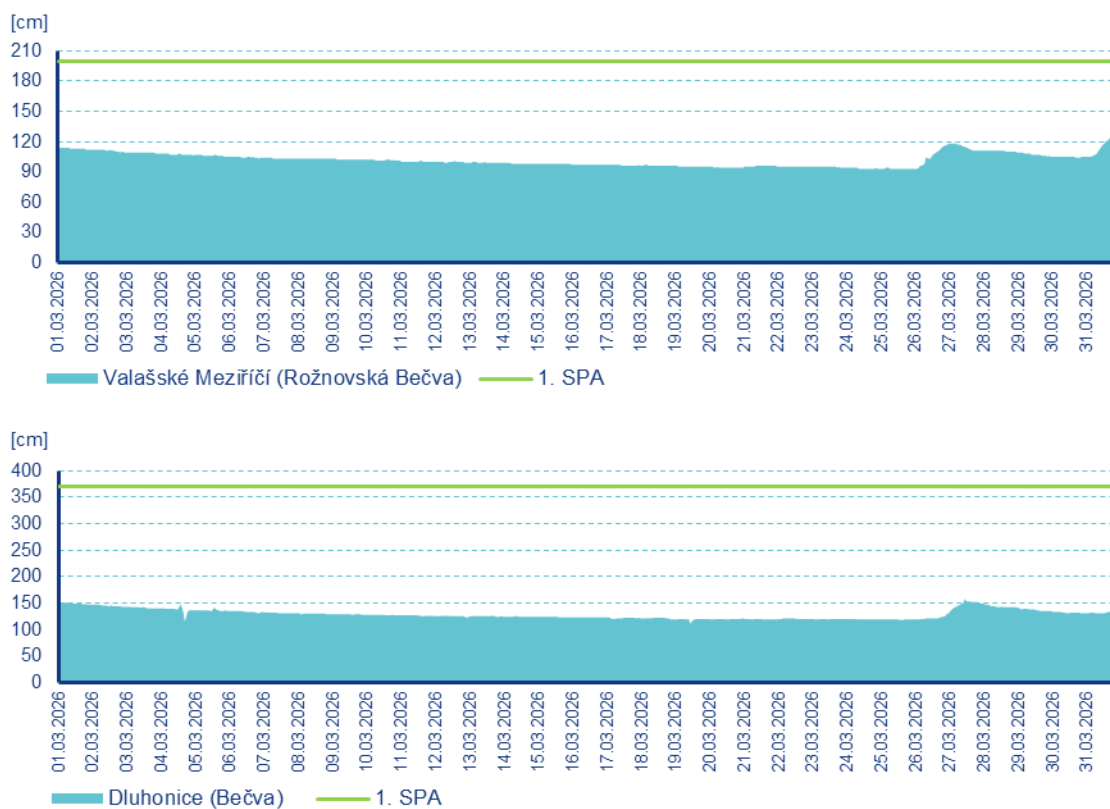
Obr. 8 Hodinové stavy ve vybraných profilech na tocích v povodí horní Moravy

Povodí Bečvy

Hladiny vodních toků v povodí Bečvy měly první a druhou dekádu měsíce března zvolna klesající nebo setrvalou tendenci. Změna nastala v polovině třetí dekády měsíce, kdy vlivem srážek a tání sněhové pokrývky docházelo ke kolísání a vzestupům hladin vodních toků v celém povodí Bečvy.

Vsetínská Bečva v Jarcové kulminovala dne 31. března v 22:30 hodin při průtoku $11,8 \text{ m}^3 \cdot \text{s}^{-1}$, Rožnovská Bečva ve Valašském Meziříčí 31. března v 19:30 hodin při průtoku $10,6 \text{ m}^3 \cdot \text{s}^{-1}$ a Bečva v Dluhonicích dne 27. března v 09:00 hodin při průtoku $27,2 \text{ m}^3 \cdot \text{s}^{-1}$.

Průměrná měsíční vodnost neovlivněných toků se pohybovala nejčastěji v rozmezí od Q_{180d} do Q_{150d} . Průměrné měsíční průtoky neovlivněných toků se pohybovaly pod hodnotou dlouhodobého průměru pro měsíc březen (Dluhovice – 30 % Q_M).



Obr. 9 Hodinové stavy ve vybraných profilech na tocích v povodí Bečvy

Pozn.: Všechny časy v textu, grafech i v tabulce jsou uváděny v SEČ. Hodnoty a časy kulminací jsou vyhodnocovány z operativních dat

Tab. 5 Maximální hodnoty průtoků ve sledovaných profilech

Tok	Stanice	Den	Čas (SEČ)	Hodnota		1. SPA		2. SPA		3. SPA	
				[cm]	[m3/s]	[cm]	[m3/s]	[cm]	[m3/s]	[cm]	[m3/s]
Odra	Svinov	31	23:40	176	29,9	310	126	460	267	520	331
Opava	Krnov	01	00:00	140	4,08	220	25,9	300	67,7	320	81,3
Opavice	Krnov	01	01:00	92	3,75	140	21,3	170	36,5	210	59,3
Opava	Opava	01	00:00	164	8,64	250	49,3	300	87,7	350	136
Opava	Děhylov	01	00:00	112	13,8	210	61,5	265	96,9	320	143
Ostravice	Frýdek-Místek	31	20:00	166	18,1	300	113	400	203	450	313
Ostravice	Ostrava	31	22:50	132	28,6	290	180	400	353	530	598
Odra	Bohumín	31	23:40	223	70	400	288	500	510	600	896
Oiše	Český Těšín	31	20:30	198	24,5	280	87,9	330	137	400	220
Oiše	Věřňovice	31	23:40	142	41,6	370	208	500	319	560	387
Osoblaha	Osoblaha	01	00:10	101	2,35	190	21,6	230	38,7	270	61,3
Bělá	Mikulovice**	26	14:00	47	5,56						
Morava	Raškov	01	00:00	162	8,91	210	29,9	240	47,6	260	61,2
Desná	Šumperk	02	07:40	83	4,12	170	35,5	220	61,7	260	84,3
Moravská Sázava	Lupěné	01	00:50	74	8,15	150	33	200	58,6	250	93,1
Morava	Moravičany*	01	01:00	110	19,8	230	80,4	270	102	300	119
Třebůvka	Loštice	01	11:30	97	4,77	150	16,3	180	26,4	220	44,4
Morava	Olomouc	01	00:00	185	47,7	360	147	390	170	430	204
Vsetínská Bečva	Jarcová	31	22:30	91	11,8	260	171	320	236	370	292
Rožnovská Bečva	Valašské Meziříčí	31	19:30	129	10,6	200	60,5	250	108	290	150
Bečva	Dluhonice	27	09:00	158	27,2	370	193	450	258	530	348

* Měřená data ve stanici jsou ovlivněna.

** Provizorní stanice

Tab. 6 Průměrné měsíční průtoky ve sledovaných profilech - srovnání s dlouhodobým průměrem

Tok	Stanice	Průměrný měsíční průtok Q [m ³ /s]	Dlouhodobý průměr Q _M [m ³ /s]	Q v % dlouhodobého průměru % Q _M	Průměrná měsíční vodnost Q _d	Hranice sucha Q ₃₅₅
Odra	Svinov	9,5	23	41	150	1,06
Opava	Krnov	2,7	5,4	50	180	0,759
Opavice	Krnov	1,8	2,4	75	90	0,0874
Opava	Opava	4,5	9,8	46	180	1,07
Opava	Děhylov	8,6	22	39	210	2,6
Ostravice	Frýdek-Místek	6,3	10	63	120	1,04
Ostravice	Ostrava	11	17	65	120	2,7
Odra	Bohumín	32	65	49	150	8,36
Olše	Český Těšín	4,4	12	37	180	0,758
Olše	Věřňovice	12	23	52	150	2,89
Osoblaha	Osoblaha	1	1,9	53	120	0,0796
Bělá	Mikulovice**					
Morava	Raškov	5,4	9,8	55	150	1,46
Desná	Šumperk	2,7	5,6	48	180	1,02
Moravská Sázava	Lupěné	3,1	9,1	34	150	0,449
Morava	Moravičany*	12	30	40	180	3,45
Třebůvka	Loštice	1,9	4,5	42	150	0,518
Morava	Olomouc	23	49	47	150	4,47
Vsetínská Bečva	Jarcová	4,2	19	22	180	0,876
Rožnovská Bečva	Valašské Meziříčí	2,6	6,8	38	150	0,266
Bečva	Dluhonice	10	33	30	180	1,78

* Měřená data ve stanici jsou ovlivněna.

** Provizorní stanice

Vyhodnocení stavu podzemních vod v březnu 2026

Stav hladiny v mělkých i hlubokých vrtech, stejně jako vydatnost pramenů, jsou hodnoceny pomocí indexu SGI (Metodika pro stanovení mezních hodnot indikátorů hydrologického sucha, 2014), kdy je empirická měsíční křivka překročení (K_{Pm}) aproximována teoretickou distribuční funkcí. Kategorie stavu podzemních vod jsou vymezeny pravděpodobnostmi překročení 95, 85, 75, 25, 15 a 5 %. Sedm kategorií reprezentuje mimořádně (≥ 95 %), silně (85–95 %), mírně podnormální (75–85 %), normální (25–75 %), mírně (25–15 %), silně (15–5 %), mimořádně (≤ 5 %) nadnormální stav.

Druhým ukazatelem, který je použit při vyhodnocení stavu podzemních vod, je intenzita změny oproti minulému měsíci a stejnému měsíci loňského roku. Při vyhodnocení povodí je použito procentuálního zhodnocení. Aktuální informace o stavu podzemní vody naleznete na <https://hydro.chmi.cz/hpps/pzv?id=melkevrt>.

Mělké vrty

Hladina podzemní vody v mělkých vrtech byla v březnu na území ČR celkově mírně podnormální. V dílčích povodích, která spadají pod územní působnost pobočky Ostrava, byla situace následující. Normální hladina podzemní vody v mělkých vrtech byla zaznamenána v minimálně 46 % všech objektů ve všech dílčích povodích. Ve všech dílčích povodích byly zaznamenány i podnormální hladiny. Nejhorší situace byla pozorována v povodí Bělá a Osoblaha (34 % silně až mimořádně podnormální hladina), Horní Moravy (32 % silně až mimořádně podnormální hladina) a Olše s Ostravicí (30 % silně až mimořádně podnormální hladina). V povodí Odry byla ve 46 % pozorovaných vrtů zaznamenána mírně až silně podnormální hladina. Stejně jako v povodí Bečvy, ve kterém byla mírně až silně podnormální hladina v 50 %. Naopak nadnormální stavy hladiny byly zaznamenány pouze v 8 % v povodí Odry (mírně nadnormální hladina) a podobně také v 5 % v povodí Horní Moravy (mírně nadnormální hladina).

Tab. 7 Stav hladin ve vrtech hodnocený podle pravděpodobnosti překročení v % objektů

Povodí	Mimořádně podnormální hladina	Silně podnormální hladina	Mírně podnormální hladina	Normální hladina	Mírně nadnormální hladina	Silně nadnormální hladina	Mimořádně nadnormální hladina
Odra	0	23	23	46	8	0	0
Olše a Ostravice	15	15	0	69	0	0	0
Opava	8	15	15	62	0	0	0
Bělá a Osoblaha	17	17	17	50	0	0	0
Horní Morava	11	21	11	53	5	0	0
Bečva	0	20	30	50	0	0	0

Oproti minulému měsíci na území působnosti pobočky Ostrava celková situace stagnovala. Ve všech pozorovaných povodích byla zaznamenána stagnace hladiny podzemních vod v mělkých vrtech ať už s mírným poklesem či vzestupem. K výraznému vzestupu hladiny došlo pouze v 8 % vrtů v povodí Olše a Ostravice. V tomto povodí došlo také na třetině sledovaných objektů k vzestupu hladiny. Pokles hladin podzemní vody v mělkých vrtech pak byl pozorován v povodí Odry (15 %), Olše a Ostravice (15 %), Opavy (16 %), Horní Moravy (16 %) a Bečvy (10 %).

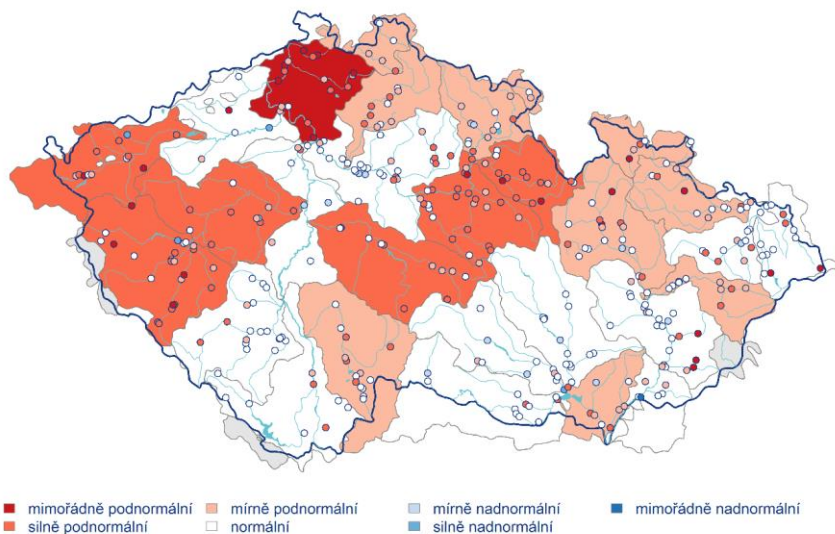
Tab. 8 Porovnání hladiny ve vrtech s předchozím měsícem v % objektů

Povodí	Výrazný pokles	Pokles	Stagnace až mírný pokles	Stagnace až mírný vzestup	Vzestup	Výrazný vzestup
Odra	0	15	38	46	0	0
Olše a Ostravice	15	0	23	23	31	8
Opava	8	8	23	46	15	0
Bělá a Osoblaha	0	0	33	50	17	0
Horní Morava	0	16	26	47	11	0
Bečva	0	10	10	70	10	0

V meziročním srovnání celkový stav hladiny podzemní vody v mělkých vrtech stejně jako v případě předchozího srovnání spíše stagnoval. S výjimkou povodí Bečvy došlo ve sledovaných povodích i k vzestupu hladin a v případě povodí Odry, Olše a Ostravice a Horní Moravy se jednalo o výrazný vzestup. V dílčích povodích Odry, Olše a Ostravice, Opavy a Horní Moravy byly ale v nízkých počtech pozorovány také poklesy hladin.

Tab. 9 Porovnání hladiny ve vrtech se stejným měsícem předchozího roku v % objektů

Povodí	Výrazný pokles	Pokles	Stagnace až mírný pokles	Stagnace až mírný vzestup	Vzestup	Výrazný vzestup
Odra	0	8	31	46	8	8
Olše a Ostravice	0	15	15	23	15	31
Opava	0	15	38	38	8	0
Bělá a Osoblaha	0	0	33	50	17	0
Horní Morava	0	21	32	32	11	5
Bečva	0	0	40	60	0	0



Obr. 10 Stav hladiny v mělkých vrtech v březnu 2026. Vztaheno k referenčnímu období 1991–2020 (členění na dílčí povodí)

Prameny

Vydatnost pramenů byla v březnu na území ČR celkově silně podnormální. Regionálně se však stav lišil. V dílčích povodích, pozorovaných pobočkou Ostrava, byla situace následující. Ve všech povodích převažovala normální vydatnost pramenů. Mimořádně podnormální vydatnost pramenů nebyla zaznamenána v žádném dílčím povodí. Naopak silně podnormální vydatnost ve všech s výjimkou Olše a Ostravice. Nadnormálních hodnot dosahovala vydatnost pramenů v povodí Odry (silně nadnormální vydatnost – 17 %) a v povodí Olše a Ostravice byla v 33 % naměřena až mimořádně nadnormální vydatnost pramenů.

Tab. 10 Vydatnost pramenů hodnocená podle pravděpodobnosti překročení v % objektů

Povodí	Mimořádně podnormální vydatnost	Silně podnormální vydatnost	Mírně podnormální vydatnost	Normální vydatnost	Mírně nadnormální vydatnost	Silně nadnormální vydatnost	Mimořádně nadnormální vydatnost
Odra	0	17	17	50	0	17	0
Olše a Ostravice	0	0	17	33	17	0	33
Opava	0	25	25	50	0	0	0
Bělá a Osoblaha	0	17	0	83	0	0	0
Horní Morava	0	14	29	57	0	0	0
Bečva	0	50	0	50	0	0	0

Ve srovnání s předchozím měsícem (únor 2026) celkový stav vydatnosti pramenů převážně stagnoval. V povodí Bečvy byl ve 25 % zaznamenán až výrazný pokles vydatnosti pramenů. Proti tomu v povodí Olše a Ostravice došlo v 50 % k vzestupu až výraznému vzestupu vydatnosti pramenů. V povodí Odry byly pozorovány obě změny výrazný pokles (17 %) i výrazný vzestup (17 %) vydatnosti pramenů.

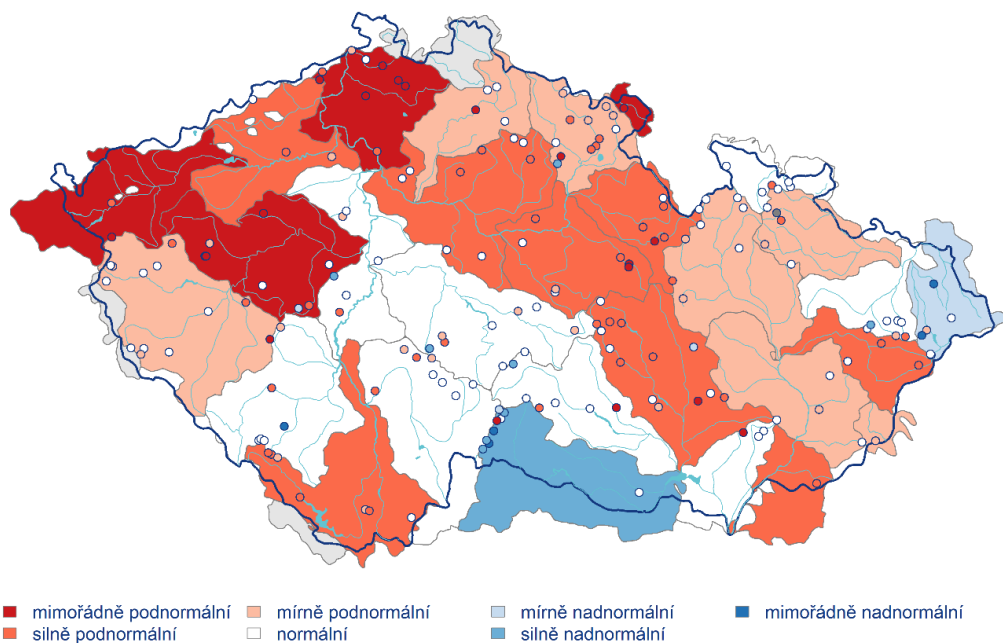
Tab. 11 Porovnání vydatnosti pramenů s předchozím měsícem v % objektů

Povodí	Výrazný pokles	Pokles	Stagnace až mírný pokles	Stagnace až mírný vzestup	Vzestup	Výrazný vzestup
Odra	17	0	17	33	17	17
Olše a Ostravice	0	17	33	0	33	17
Opava	0	0	25	75	0	0
Bělá a Osoblaha	0	0	33	33	33	0
Horní Morava	0	0	14	57	29	0
Bečva	25	0	0	75	0	0

Při porovnání stavu vydatnosti pramenů se stejným měsícem minulého roku jsme zaznamenali spíše zlepšení tedy vzestup vydatnosti pramenů. K tomu došlo ve všech sledovaných povodích. Pouze v povodí Bělé a Osoblahy a Horní Moravy došlo také k poklesu až výraznému poklesu vydatnosti pramenů.

Tab. 12 Porovnání vydatnosti pramenů se stejným měsícem předchozího roku v % objektů

Povodí	Výrazný pokles	Pokles	Stagnace až mírný pokles	Stagnace až mírný vzestup	Vzestup	Výrazný vzestup
Odra	0	0	17	67	17	0
Olše a Ostravice	0	0	0	50	33	17
Opava	0	0	50	25	25	0
Bělá a Osoblaha	17	17	0	17	50	0
Horní Morava	14	0	14	57	14	0
Bečva	0	0	25	75	0	0



Obr. 11 Vydatnost pramenů v březnu 2026. Vztaženo k referenčnímu období 1991–2020 (členění na dílčí povodí)

Hluboké vrty

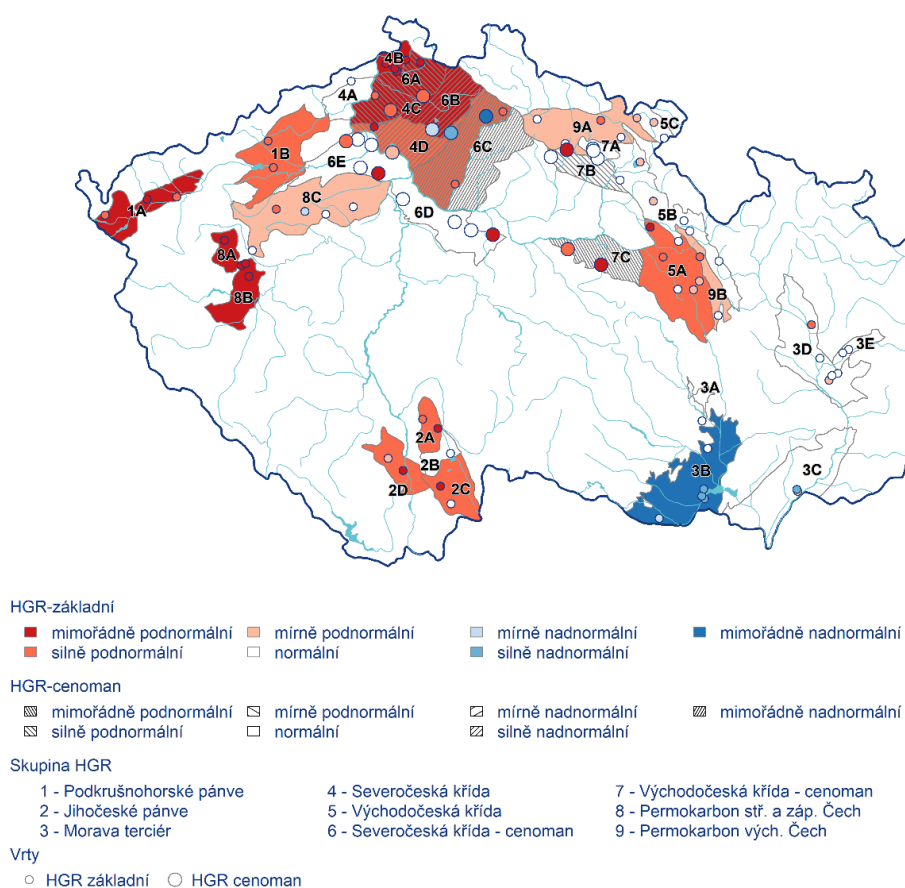
V rámci působnosti pobočky Ostrava byla hladina podzemní vody v březnu v hlubokých vrtech převážně normální. Mírně až silně podnormální stav se objevil v části moravského terciéru (3D) a také v permokarbonu východních Čech (9B). Naopak nadnormální hodnoty hladiny podzemních vod v hlubokých vrtech byly pozorovány v části moravského terciéru (3B a 3C).

Při interpretaci výsledků je třeba brát v úvahu, že hodnocení hlubokých zvodní je prováděno na menším počtu objektů a často na kratších pozorovaných řadách, než vyhodnocování mělkých vrtů a pramenů. Většina hlubokých vrtů má sice pozorování od roku 1991, část z nich však jen od roku 2008.

Stav hladiny podzemní vody v hlubokých vrtech

Březen 2026

Český
hydrometeorologický
ústav



Obr. 12 Stav hladiny podzemní vody v hlubokých vrtech v březnu 2026. Vztaženo k referenčnímu období 1991–2020

Kvalita ovzduší

V březnu 2026 byla na území Moravskoslezského, Olomouckého a Zlínského kraje překročena denní limitní hodnota $50 \mu\text{g}\cdot\text{m}^{-3}$ pro suspendované částice PM_{10} (obr. 17) na více než polovině stanic. Nejvyšší průměrná denní hodnota PM_{10} byla naměřena ve výši $64 \mu\text{g}\cdot\text{m}^{-3}$ na stanici Ostrava-Fifejdy, nejnižší hodnota byla naměřena na stanici Lysá hora v několika dnech ve výši $1 \mu\text{g}\cdot\text{m}^{-3}$ (obr. 13).

V případě průměrných denních koncentrací suspendovaných částic $\text{PM}_{2,5}$ (obr. 14) byly nejvyšší i nejnižší koncentrace naměřeny analogicky ve stejných dnech, jako v případě PM_{10} .

Denní koncentrace NO_2 (obr. 15) byly nízké a v březnu nedošlo k překročení hodinového limitu $200 \mu\text{g}\cdot\text{m}^{-3}$ této látky. Vyšší hodnoty průměrných denních koncentrací se vyskytovaly na městských stanicích.

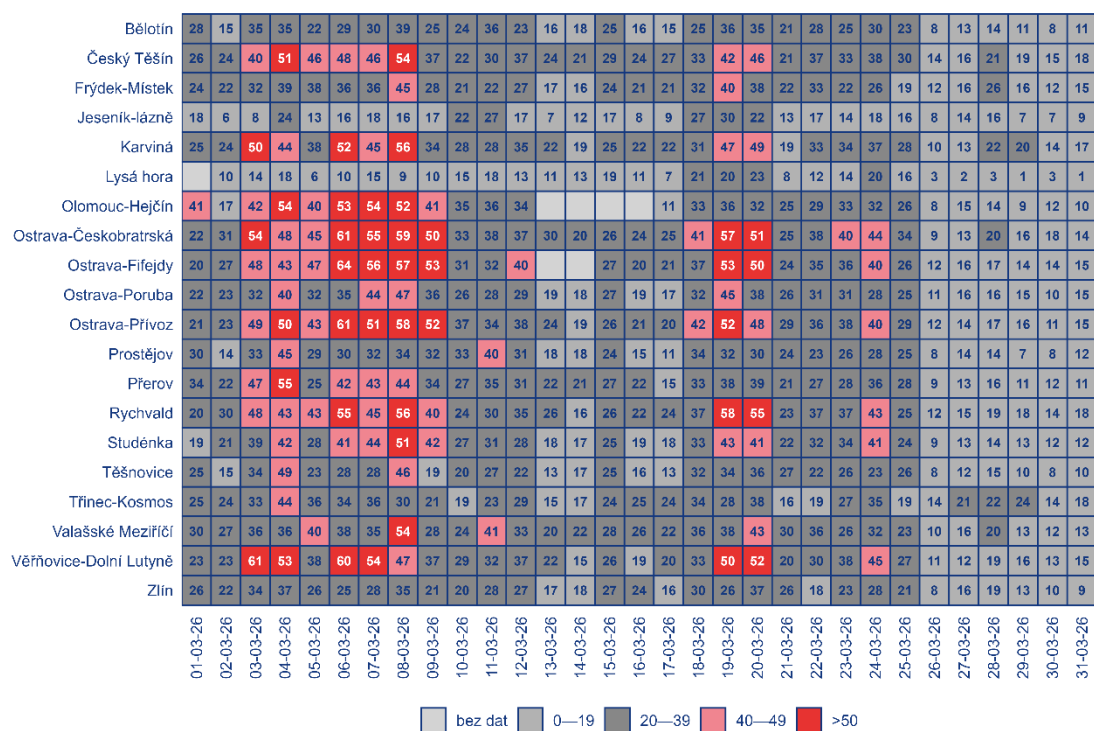
V měsíci březnu nebyly naměřeny vyšší maximální 8hodinové klouzavé koncentrace O_3 , limitní hodnota $120 \mu\text{g}\cdot\text{m}^{-3}$ nebyla překročena na žádné stanici, na kterých se přízemní ozon měří.

Hodnoty průměrných měsíčních koncentrací suspendovaných částic PM_{10} (obr. 18) byly v březnu 2026 v průměru o $1,4 \mu\text{g}\cdot\text{m}^{-3}$ vyšší než v březnu 2025 na všech stanicích. Rozdíly se pohybovaly v rozmezí $-3,4 \mu\text{g}\cdot\text{m}^{-3}$ (Studénka) až $5,8 \mu\text{g}\cdot\text{m}^{-3}$ (Ostrava-Českobratrská).

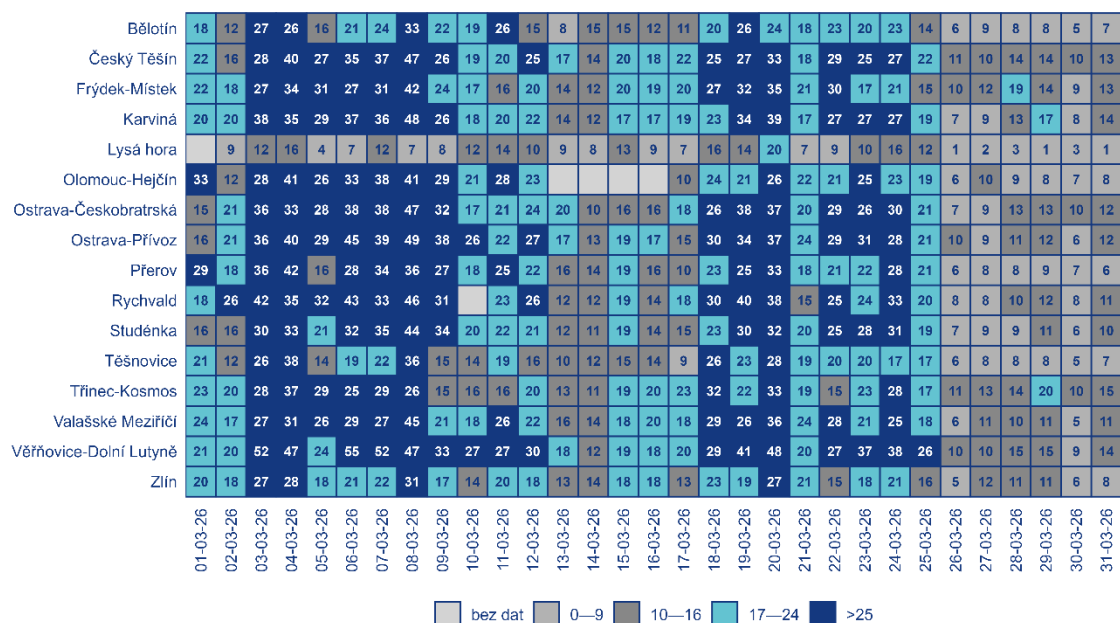
Hodnoty průměrných měsíčních koncentrací suspendovaných částic $\text{PM}_{2,5}$ (obr. 19) byly v březnu 2026 v průměru o $0,7 \mu\text{g}\cdot\text{m}^{-3}$ vyšší než v březnu 2025 na všech stanicích. Rozdíly se pohybovaly v rozmezí $-3,1 \mu\text{g}\cdot\text{m}^{-3}$ (Běloutín) až $5,1 \mu\text{g}\cdot\text{m}^{-3}$ (Třinec-Kosmos).

Hodnoty průměrných měsíčních koncentrací NO_2 (obr. 20) byly v březnu 2026 v průměru o $0,5 \mu\text{g}\cdot\text{m}^{-3}$ nižší než v březnu 2025 na všech stanicích. Rozdíly v koncentracích se pohybovaly v rozmezí $-2,6 \mu\text{g}\cdot\text{m}^{-3}$ na stanici Ostrava-Přívoz až $1,4 \mu\text{g}\cdot\text{m}^{-3}$ na stanici Ostrava-Českobratrská.

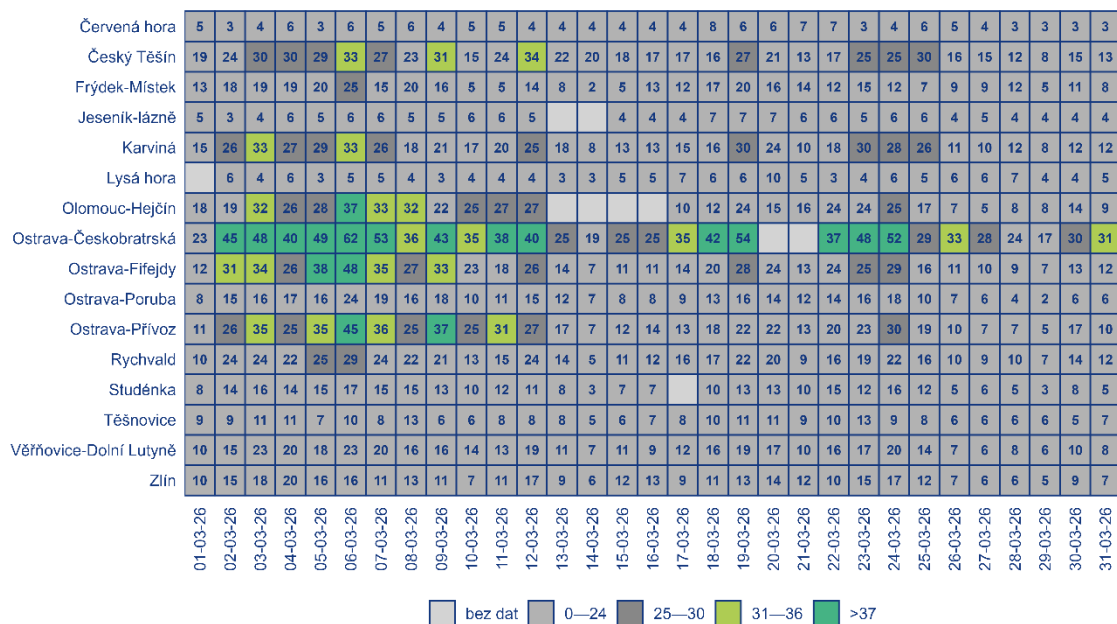
Hodnoty průměrných měsíčních koncentrací O_3 (obr. 21) byly v březnu 2026 v průměru o $0,9 \mu\text{g}\cdot\text{m}^{-3}$ nižší než v březnu 2025 na všech stanicích. Rozdíly v koncentracích se pohybovaly v rozmezí $-4,5 \mu\text{g}\cdot\text{m}^{-3}$ na stanici Těšnovice až $1,5 \mu\text{g}\cdot\text{m}^{-3}$ na stanici Zlín.



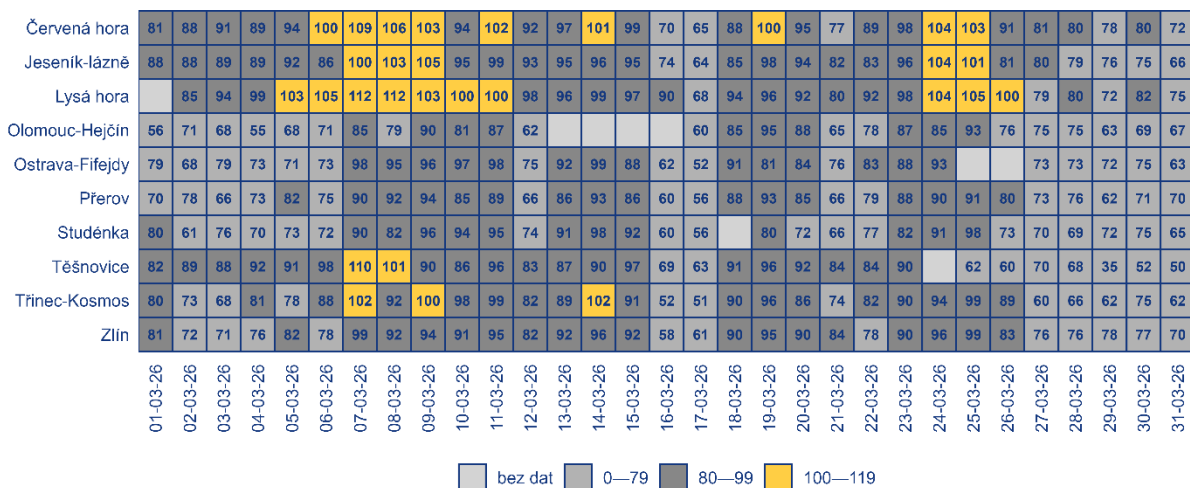
Obr. 13 Průměrné denní koncentrace PM₁₀ v µg.m⁻³, březen 2026



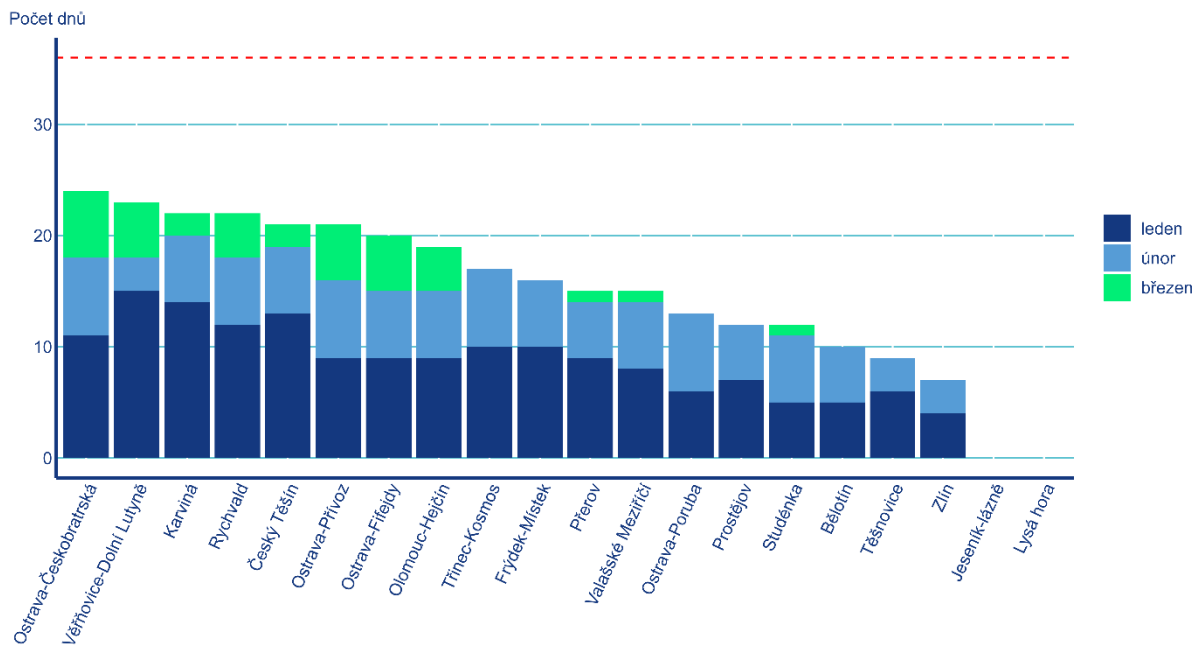
Obr. 14 Průměrné denní koncentrace PM_{2.5} v µg.m⁻³, březen 2026



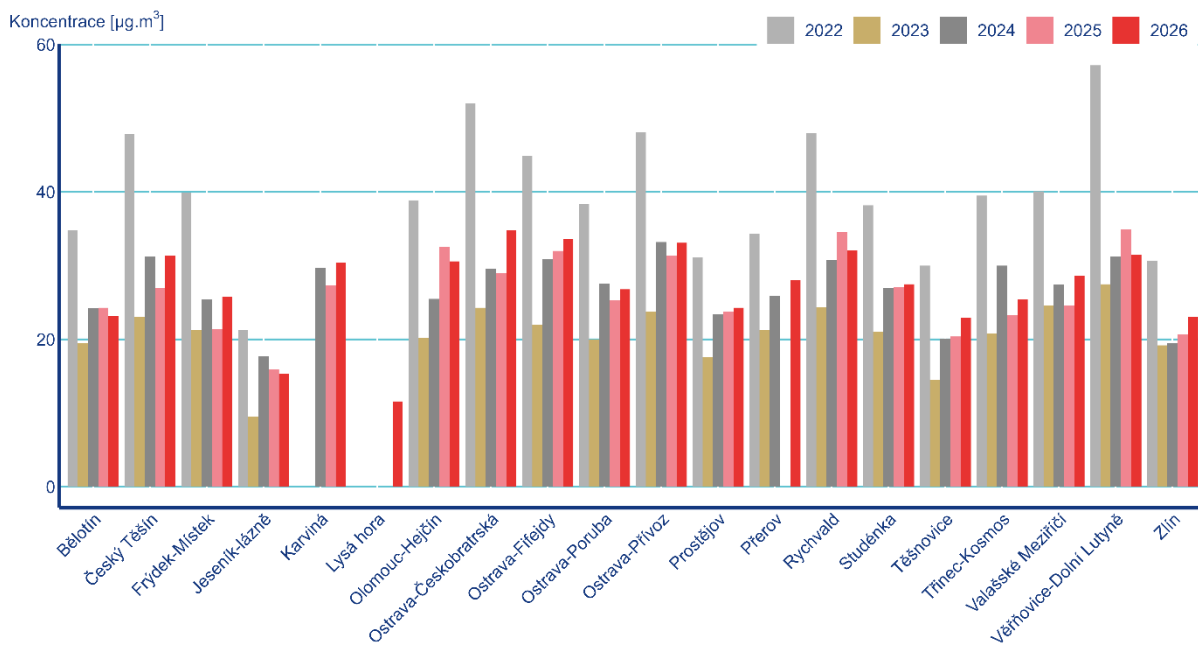
Obr. 15 Průměrné denní koncentrace NO_2 v $\mu\text{g}\cdot\text{m}^{-3}$, březen 2026



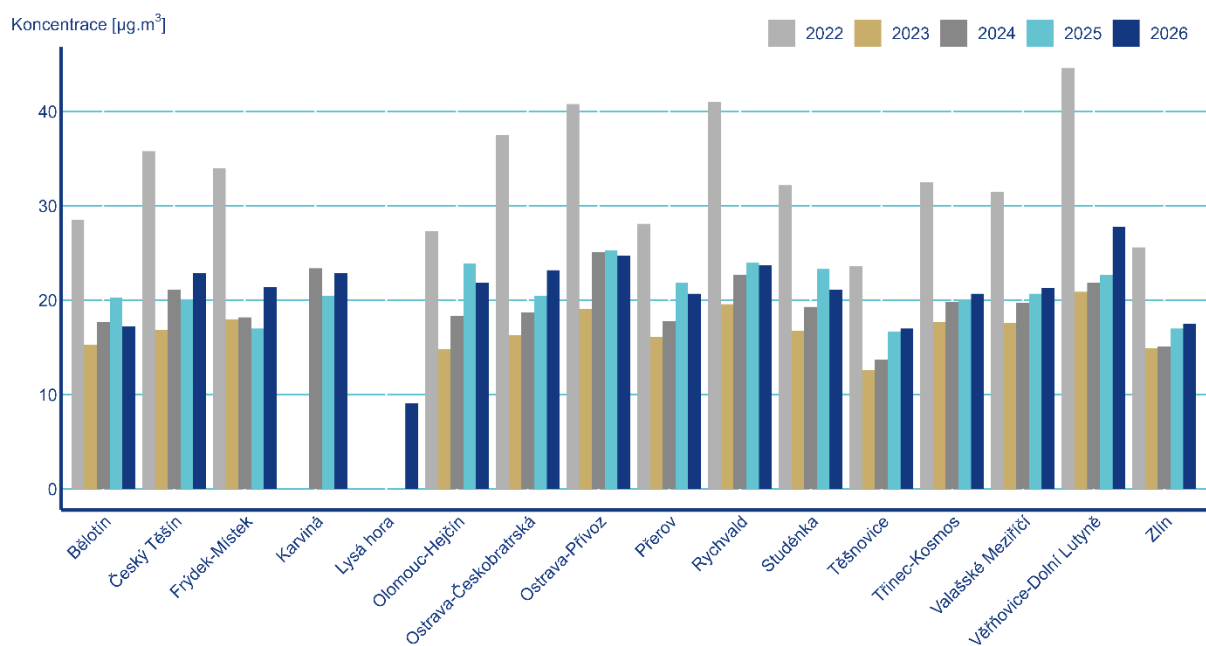
Obr. 16 Maximální naměřená 8hodinová koncentrace O_3 v $\mu\text{g}\cdot\text{m}^{-3}$, březen 2026



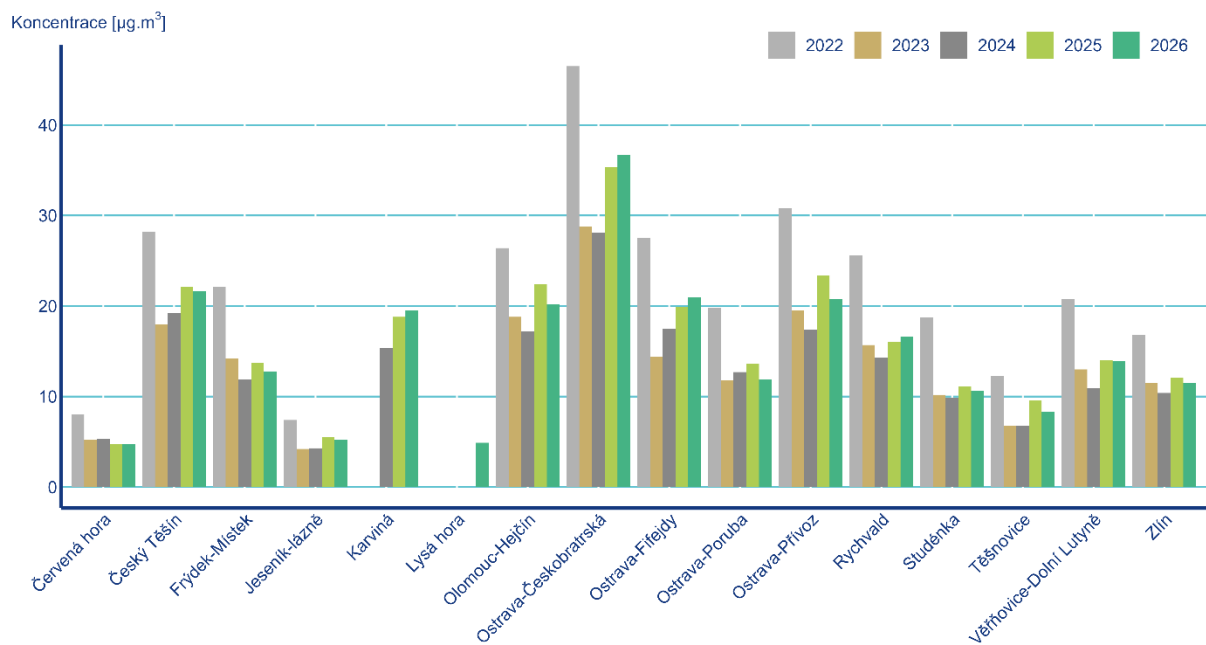
Obr. 17 Počet dnů, kdy průměrná denní koncentrace PM_{10} překročila hodnotu imisního limitu ($50 \mu\text{g}\cdot\text{m}^{-3}$), 2026



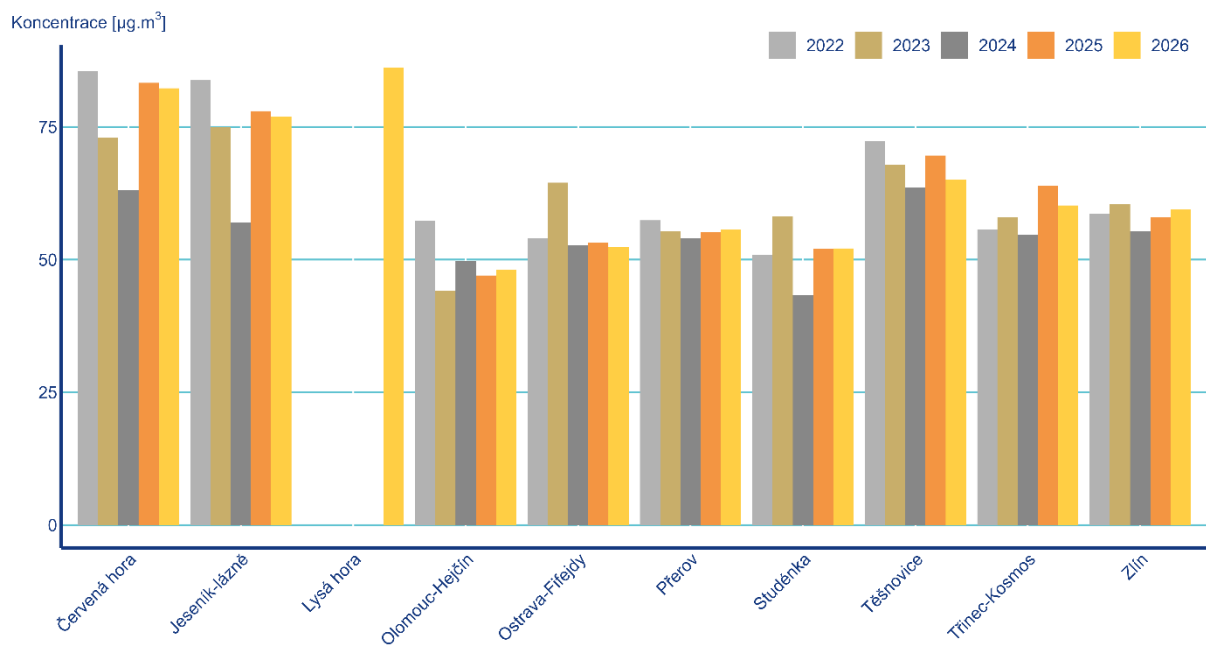
Obr. 18 Průměrné měsíční koncentrace PM_{10} , březen 2022–2026



Obr. 19 Průměrné měsíční koncentrace $\text{PM}_{2.5}$, březen 2022–2026



Obr. 20 Průměrné měsíční koncentrace NO_2 , březen 2022–2026



Obr. 21 Průměrné měsíční koncentrace O_3 , březen 2022–2026

Výzkum ČHMÚ Ostrava pro Magistrát města Opavy

Mezi řešené externí zakázky ČHMÚ Ostrava (např. ČEZ PVE Dlouhé Stráně, MAS Skutečsko, Košumbersko, Chrasteco a ORP Jablonec nad Nisou) přibyly v letošním roce dvě zakázky pro Magistrát města Opavy, které se soustředí na protipovodňovou problematiku a možnosti optimalizací hydrologického a environmentálního stavu lokality Stříbrné jezero, které je mezi místními přezdíváné „Sádrák“. Tento bývalý sádrovcový lom (od roku 1956 povrchový a dříve od roku 1849 i podzemní se systémem štol) byl v roce 1964 definitivně zatopen (mimo jiné díky nekontrolovatelným průsakům) a slouží víceméně celou dobu jako přírodní koupaliště. V letech 2020 až 2025 probíhala revitalizace lokality, mezitím roce 2021 došlo k propadu komunikace vedoucí okolo jižního okraje jezera vlivem zborcení jedné ze štol. V září 2024 navíc došlo k dotaci jezera povodňovými vodami řeky Opavy, která rovněž jezero obtéká na západní a dále jižní straně. Mimo jiné těmito procesy byly ovlivněny senzorické vlastnosti vody, která získala nežádoucí zákal.

Magistrát města Opavy u ČHMÚ Ostrava zadal podrobnou hydrologicko-hydraulickou analýzu lokality (mimo jiné ve spolupráci s VÚV T. G. M.), v jejíž první etapě bude provedeno batygrafické snímkování jezera sonarem a pokus o detekci případných průsaků. V dalších etapách bude vybudován hydrologický a hydraulický model lokality pro detekci rizik a příležitostí ke zlepšení celkového stavu. Pro sonarová měření budou využity přístroje ADCP (*Acoustic Doppler Current Profiler*) SonTek RiverSurveyor M9, který je na ČHMÚ běžně používán k měření průtoků a také batygrafii dna:

<https://www.xylem.com/en-us/products--services/analytical-instruments-and-equipment/flowmeters-velocimeters/sontek-m9/>

Pro zpracování batygrafických dat budou krom standardních GIS nástrojů využity programové prostředky HydroSurveyor a HYPACK:

<https://www.xylem.com/en-us/products--services/software/hydrosurveyor-software/>

<https://www.xylem.com/el-gr/brand/hypack/>



Obr. 22 Archivní letecký snímek z roku 1961 sádrovcového lomu před zatopením (zdroj dat: ČÚZK).